

**KARAKTERISASI MATERIAL PASIR KUARSA DI SUNGAI
SADDANG KABUPATEN PINRANG DENGAN
MENGUNAKAN METODE *X-RAY DIFFRACTION* (XRD)**



SKRIPSI

Diajukan Untuk Memenuhi Salah Satu Syarat Meraih Gelar Sarjana Pada Jurusan
Fisika Sains Fakultas Sains Dan Teknologi Universitas Islam Negeri (UIN)
Alauddin Makassar

Oleh

MAHMUDA

NIM: 60400115069

**FAKULTAS SAINS DAN TEKNOLOGI
UIN ALAUDDIN MAKASSAR**

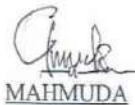
2019

PERNYATAAN KEASLIAN SKRIPSI

Dengan penuh kesadaran, penulis yang bertanda tangan dibawah ini menyatakan bahwa skripsi ini benar adalah hasil karya penyusun sendiri. Jika dikemudian hari terbukti bahwa ia merupakan duplikat, tiruan, plagiat atau dibuat oleh orang lain, sebagian atau seluruhnya, maka skripsi atau gelar yang diperoleh karenanya batal karena hukum.

Samata, November 2019

Penyusun



MAHMUDA

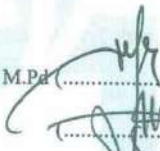
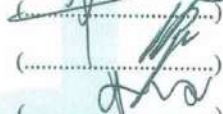
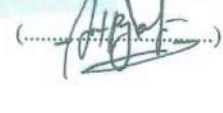
Nim : 60400115069

PENGESAHAN SKRIPSI

Skripsi dengan judul “Karakterisasi Material Pasir Kuarsa Di Sungai Saddang Kabupaten Pinrang Dengan Menggunakan Metode *X-Ray Diffraction* (XRD)” yang disusun oleh Mahmuda, Nim : 60400115069 Mahasiswa Jurusan Fisika pada Fakultas Sains dan Teknologi Universitas Islam Negeri Alauddin Makassar, telah diuji dan dipertahankan dalam sidang *Munaqasyah* yang diselenggarakan pada hari Senin tanggal 21 November 2019 M, bertepatan dengan 24 Rabi’ul awwal 1441 H dinyatakan dapat diterima sebagai salah satu syarat untuk meraih gelar Sarjana dalam ilmu Sains, Jurusan Fisika.

Samata, 21 November 2019 M
24 Rabi’ul Awal 1441 H

DEWAN PENGUJI

Ketua	: Prof. Dr. Muhammad Halifah Mustami, M.Pd (.....)	
Sekretaris	: Ihsan, S.Pd., M.Si (.....)	
Penguji I	: Sri Zelviani, S.Si., M.Sc (.....)	
Penguji II	: Dr. M. Thahir Maloko, M.Hi. (.....)	
Pembimbing I	: Rahmaniah, S.Si., M.Si. (.....)	
Pembimbing II	: Fitriyanti, S.Si., M.Sc. (.....)	

Diketahui Oleh:

Dekan Fakultas Sains dan Teknologi

UIN Alauddin Makassar



Prof. Dr. Muhammad Halifah Mustami, M.Pd

NIP. 19711402 200003 1 001

KATA PENGANTAR



Setinggi puja dan sedalam syukur penulis haturkan kehadiran Allah swt. atas rahmat, hidayah dan pertolongan-Nya dan tak lupa pula shalawat beriring salam penulis haturkan kepada junjungan Nabi Besar Muhammad saw. sebagai suri teladan yang telah membawa kita dari alam kebodohan kea lam kecerdasan seperti sekarang ini sehingga penulis dapat menyelesaikan skripsi yang berjudul “**Karakterisasi Material Pasir Kuarsa Di Sungai Saddang Kabupaten Pinrang Dengan Menggunakan Metode X-Ray Diffraction (Xrd)**” ini sebagai salah satu syarat meraih gelar sarjana pada Jurusan Fisika Fakultas Sains dan Teknologi Universitas Islam Negeri Alauddin Makassar.

Selama proses penyusunan skripsi ini penulis menyadari bahwa begitu banyak tantangan, hambatan, dan kesulitan yang dihadapi. Tetapi penulis harus selalu berusaha dan bekerja keras untuk menyelesaikan skripsi ini. Oleh karena itu, dengan selesainya skripsi ini penulis sangat bersyukur kepada Allah swt. Dan penulis tidak lupa mengucapkan terima kasih yang sebesar-besarnya pada orang tua tercinta, ayahanda **Muslimin** dan ibunda **Syamsuariati** atas cinta dan kasih sayang serta dukungan dan doa yang selalu dicurahkan disetiap sujudnya. Serta segala pengorbanan yang tak henti-hentinya hingga skripsi ini dapat terselesaikan.

Penulis juga menghaturkan ucapan terima kasih yang tulus dan sebesar-besarnya kepada:

1. Rektor Universitas Islam Negeri (UIN) Alauddin Makassar, Bapak Prof. Drs. Hamdan, M.A., Ph.D.
2. Dekan Fakultas Sains dan Teknologi Universitas Islam Negeri (UIN) Alauddin Makassar, Bapak Prof. Dr. Muh. Khalifah Mustami, M.Pd.
3. Ketua Jurusan Fisika, Ibu Sahara, S.Si, M.Si, Ph.D dan Sekretaris Jurusan Fisika, Bapak Ihsan, S.Si, M.Si
4. Ibu Rahmaniah, S.Si., M.Si. selaku pembimbing I dan Ibu Fitriyanti, S.Si., M.Sc. selaku pembimbing II yang telah meluangkan waktu dan tenaga ditengah-tengah kesibukannya yang padat, masih berkenan memberikan bimbingan, arahan dan saran dengan arif dan bijaksana kepada penulis.
5. Ibu Sri Zelviani, S.Si., M.Sc. dan Bapak Dr. M. Thahir Maloko, M.Hi. selaku dosen penguji.
6. Seluruh dosen, staf dan karyawan Jurusan Fisika Fakultas Sains dan Teknologi Universitas Islam Negeri (UIN) Alauddin Makassar yang telah banyak memberikan seumbangsih baik tenaga maupun pikiran.
7. Semua pihak yang tidak dapat disebutkan satu per satu, yang telah dengan tulus ikhlas memberikan doa dan motivasi kepada penulis sehingga dapat terselesaikannya skripsi ini.

Akhir kata, penulis mengharapkan semoga skripsi ini dapat memberikan manfaat ilmu pengetahuan kepada setiap pembaca. Aamiin.

Makassar, Agustus 2019
Penyusun,

Mahmuda
NIM : 60400115069

DAFTAR ISI

JUDUL.....	i
KATA PENGANTAR.....	ii
DAFTAR ISI.....	vi
DAFTAR GAMBAR.....	vii
DAFTAR TABEL.....	viii
ABSTRAK.....	ix
BAB I PENDAHULUAN	
1.1 Latar Belakang.....	1
1.2 Rumusan Masalah.....	3
1.3 Tujuan.....	3
1.4 Ruang Lingkup Penelitian.....	3
1.5 Manfaat Penelitian.....	4
BAB II TINJAUAN TEORITIS	
2.1 Pasir Kuarsa.....	5
2.2 Mineral.....	11
2.3 Batuan.....	13
2.4 Peta.....	15
2.5 Difraksi Sinar-X.....	22
2.6 Struktur Kristal.....	27
2.7 Teknik Pengambilan Sampel.....	34
BAB III METODE PENELITIAN	
3.1 Waktu dan Tempat Penelitian.....	41
3.2 Alat dan Bahan.....	41
3.3 Prosedur Penelitian.....	42
3.4 Bagan Alir Penelitian.....	45
BAB IV HASIL DAN PEMBAHASAN	
4.1 Hasil Penelitian.....	46
4.2 Pembahasan.....	50
BAB V PENUTUP	
5.1 Kesimpulan.....	60
5.2 Saran.....	60
DAFTAR PUSTAKA.....	xi

DAFTAR GAMBAR

	Halaman
Gambar 2.1 : Mineral Kuarsa.....	12
Gambar 2.2 : Mineral Feldspar.....	12
Gambar 2.3 : Batu Pasir Yang Terbentuk Dari Butiran-Butiran Pasir Halus.	15
Gambar 2.4 : Peristiwa Difraksi Pada Kristal	23
Gambar 2.5 : Bagan Struktur Kristal.....	27
Gambar 2.6 : Unit Sel Dan Kisi Kristal	28
Gambar 2.7 : Sumbu-Sumbu Dan Sudut-Sudut Antar Sumbu Kristal.....	29
Gambar 2.8 : Sistem Kubik.....	30
Gambar 2.9 : Sistem Monoklinik.....	31
Gambar 2.10 : Sistem Triklinik.....	31
Gambar 2.11 : Sistem Tetragonal.....	32
Gambar 2.12 : Sistem Orthorhombik.....	33
Gambar 2.13 : Sistem Trigonal.....	33
Gambar 2.14 : Sistem Hexagonal.....	34
Gambar 3.1 : Bagan Alir Penelitian	44
Gambar 4.1 : Peta Titik Lokasi Pengambilan Sampel	46
Gambar 4.2 : Grafik Pola Difraksi Sampel A	51
Gambar 4.3 : Grafik Pola Difraksi Sampel B	53
Gambar 4.4 : Grafik Pola Difraksi Sampel C	55

DAFTAR TABEL

	Halaman
Tabel 2.1 : Komposisi Kimia Pasir Kuarsa Indonesi Secara Umum.....	10
Tabel 2.2 : Sifat Fisik Pasir Kuarsa Indonesia	11
Tabel 2.3 : Sistem Kristal Dan Parameter Kisi	29
Tabel 3.1 : Hasil Karakteristik Material Pasir Kuarsa (Setiap Sampel) Dengan Menggunakan <i>X-Ray Diffraction</i> (XRD).....	44
Tabel 3.2 : Jadwal Kegiatan Penelitian.....	45
Tabel 4.1 : Hasil Karakteristik Material Pasir Kuarsa (Sampel A) Pada Permukaan Dengan Menggunakan XRD	48
Tabel 4.2 : Hasil Karakteristik Material Pasir Kuarsa (Sampel B) Pada Kedalaman 50 cm Dengan Menggunakan XRD.....	49
Tabel 4.3 : Hasil Karakteristik Material Pasir Kuarsa (Sampel C) Pada Kedalaman 100 cm Dengan Menggunakan XRD	50

ABSTRAK

Nama : Mahmuda
NIM : 60400115069
Judul : Karakterisasi Material Pasir Kuarsa Di Sungai Saddang Kabupaten Pinrang Dengan Menggunakan Metode *X-Ray Diffraction* (XRD)

Penelitian ini bertujuan untuk mengetahui karakteristik pasir kuarsa di daerah Sungai Saddang Kabupaten Pinrang dengan Metode *X-Ray Diffraction* (XRD). Hasil penelitian yang diperoleh bahwa kandungan mineral kuarsa atau *silicon dioksida* (SiO_2) yang tinggi terdapat pada bagian kedalaman 50 cm yakni sebanyak 72.60% memiliki struktur kristal *trigonal* dengan sumbu a dan b sama panjang sedangkan sumbu c berbeda dengan rasio perbandingan sumbu $a = b \neq c$. Parameter kisi *silicon dioksida* (SiO_2) dari hasil analisis diperoleh $a = 4,7050 \text{ \AA}$ $c = 5,2500 \text{ \AA}$ dengan ukuran rata-rata kristal sebesar 51,174 nm dan nilai densitasnya adalah $2,974 \text{ g/cm}^3$. Sedangkan kandungan mineral kuarsa atau *silicon dioksida* (SiO_2) yang rendah terdapat pada permukaan yakni sebanyak 50.10% yang memiliki struktur Kristal *trigonal*. *Trigonal* memiliki 3 sumbu kristal yaitu a dan b yang sama panjang, sedangkan sumbu c memiliki panjang yang berbeda. Sistem *trigonal* memiliki rasio perbandingan sumbu yaitu $a = b \neq c$. Parameter kisi pada *silicon oksida* (SiO_2) dari analisis diperoleh yaitu $a = 4,9115 \text{ \AA}$ $c = 5.4038 \text{ \AA}$ dengan ukuran kristal sebesar 34,034 nm dan nilai densitasnya sebesar $2,651 \text{ gr/cm}^3$.

Kata Kunci : Pasir Kuarsa, XRD, *silicon dioksida* (SiO_2), Kandungan Mineral, Struktur Kristal, Densitas, Parameter Kisi

ABSTRACT

Name : Mahmuda
NIM : 60400115069
Title : Characterization of Quartz Sand Material in Saddang River District
Pinrang Using the X-Ray Diffraction (XRD) Method

This study studied the characteristics of quartz sand in the Saddang River area of Pinrang Regency with the X-Ray Diffraction (XRD) Method. Quartz or silicon dioxide (SiO_2) containing 50 cm in the amount of 72.60% has a trigonal crystal structure with axes a and b of the same length related to the wheel, c, by the ratio of the ratio,. The silicon dioxide (SiO_2) lattice parameter from the analysis results obtained $a = 4,7050 \text{ \AA}$ $c = 5,2500 \text{ \AA}$ with an average crystal size of 51,174 nm and its density value is 2,974 g / cm³. While the mineral content of quartz or silicon dioxide (SiO_2) is low on the surface of 50.10% which has a trigonal crystal structure. Trigonal has 3 crystal axes namely a and b of the same length, while the c axis has different lengths. Trigonal systems have an axis replacement ratio that is $a = b \neq c$. The lattice parameter of silicon oxide (SiO_2) from the analysis obtained is $a = 4.9115 \text{ \AA}$ $c = 5.4038 \text{ \AA}$ with a crystal size of 34.034 nm and a density value of 2.651 gr / cm³.

Keywords: *Quartz Sand, XRD, silicon dioxide (SiO_2), mineral content, Crystal Structure, Density, Lattice Parameters*

BAB I

PENDAHULUAN

1.1 Latar Belakang

Integrasi al-Qur'an tentang pasir yaitu Allah swt berfirman QS Al-Muzzammil/73:14 :

يَوْمَ تَرْجُفُ الْأَرْضُ وَالْجِبَالُ وَكَانَتِ الْجِبَالُ كَثِيبًا مَّهِيلًا ؕ () ١

Terjemahnya:

“Pada hari bumi dan gunung-gunung berguncangan, dan menjadilah gunung-gunung itu tumpukan-tumpukan pasir yang beterbangan” (Kementrian Agama, RI; 2012).

Pasir kuarsa adalah bahan galian yang terdiri atas kristal-kristal silika (SiO₂) dan mengandung senyawa pengotor yang terbawa selama proses pengendapan. Pasir kuarsa juga dikenal dengan nama pasir putih merupakan hasil pelapukan batuan yang mengandung mineral utama, seperti kuarsa dan feldspar.

Selain wilayah tersebut, ada pula wilayah di provinsi Sulawesi Selatan yang diindikasikan terdapat pasir kuarsa, yaitu di sungai Saddang, yang terletak di Kabupaten Pinrang. Dikatakan demikian karena di sungai Saddang terdapat batuan yang mengalami erosi terus menerus sehingga terbentuk batu pasir kemudian erosi tersebut memecah mineral kurang stabil dan melepaskan yang lebih stabil seperti kuarsa, disamping itu penampakan pasirnya yang berwarna putih kecoklatan memperkuat dugaan adanya pasir kuarsa di wilayah tersebut.

Sungai Saddang, merupakan sungai terpanjang di Provinsi Sulawesi Selatan dengan panjang sekitar 150 km .Aliran sungai Saddang sendiri mengalir mulai dari Kabupaten Tana Toraja, Enrekang, Pinrang hingga Polewali di

Sulawesi Barat. Aliran sungai Saddang yang cukup deras/kuat maka partikel apapun bisa terbawa. Mulai dari batuan batuan besar (*large boulders*) sampai dengan tanah liat (*clay*). Maka dari itu, sungai Saddang didominasi oleh substrat tanah liat hingga substrat pasir. Walaupun banyak pula ditemukan batuan batuan yang cukup besar, kerikil. (*Dunne & Leopold 1983*)

Berbagai aplikasi mengenai pasir kuarsa saat ini masih terus dilakukan oleh kalangan peneliti di seluruh dunia dengan produk dan metode yang berbeda-beda, sehingga memiliki ukuran pasir kuarsa yang bervariasi. Salah satu metode yang dapat digunakan untuk mengetahui mikrostruktur dari pasir kuarsa adalah dengan menggunakan *X-ray Diffraction* (XRD), yang merupakan salah satu metoda karakterisasi material yang sering diaplikasikan dan sering digunakan hingga sekarang. Teknik ini digunakan untuk mengidentifikasi fasa kristalin dalam material dengan cara menentukan parameter struktur kisi serta untuk mendapatkan ukuran partikel. (Ratnasari, dkk., 2009: 3)

Dari uraian di atas dapat disimpulkan hal-hal yang melatar belakangi penelitian ini adalah untuk mengetahui karakteristik material pasir kuarsa dengan menggunakan XRD di sungai Saddang, Kabupaten Pinrang.

1.2 Rumusan Masalah

Berdasarkan latar belakang tersebut, maka rumusan masalah yang diangkat pada penelitian ini adalah bagaimana karakteristik material pasir kuarsa dengan menggunakan XRD ?

1.3 Tujuan

Berdasarkan rumusan masalah di atas, maka tujuan yang dicapai pada penelitian ini adalah untuk mengetahui karakteristik material pasir kuarsa dengan menggunakan XRD.

1.4 Ruang Lingkup Penelitian

Ruang lingkup yang akan dilakukan adalah sebagai berikut:

1. Teknik pengambilan sampel akan dilakukan dengan metode sumur uji (*Test Pit*) pada satu titik penelitian dengan kedalaman yang berbeda-beda yaitu bagian permukaan (sampel A), kedalaman 50 cm (sampel B) dan 100 cm (sampel C).
2. Pengujian karakteristik material pasir kuarsa dengan menggunakan alat XRD
3. Yang dimaksud karakteristik material pasir kuarsa dengan menggunakan XRD dalam penelitian ini adalah struktur (bentuk) kristal dari material pasir kuarsa.

1.5 Manfaat Penelitian

Berikut manfaat dari penelitian ini adalah sebagai berikut:

1.5.1 Manfaat Untuk Masyarakat

Manfaat uji karakteristik material pasir kuarsa untuk masyarakat yaitu dapat meningkatkan taraf ekonomi berupa adanya kegiatan perusahaan mempekerjakan penduduk sekitar atau memberikan kesempatan berusaha yang terkait dengan kegiatan perusahaan tambang, misalnya transportasi, warung makan, tempat penginapan dan lain sebagainya.

1.5.2 Manfaat Untuk Mahasiswa

Manfaat uji karakteristik material pasir kuarsa untuk mahasiswa yaitu mahasiswa dapat mengetahui struktur kristal pada material pasir kuarsa yang ada di sungai Saddang Kabupaten Pinrang. Selain itu, mahasiswa juga mengetahui cara penggunaan alat XRD.

BAB II

TINJAUAN TEORITIS

2.1 Pasir Kuarsa

Pasir kuarsa sebagai endapan sedimen, berasal dari proses rombakan batuan, dimana batuan tersebut mengandung *silicon dioksida* (SiO_2) seperti granit, *granodiorit* dan *riolit*. Endapan pasir kuarsa terjadi setelah melalui proses sedimentasi, transportasi, dan sortasi, sehingga endapan pasir kuarsa dialam tidak pernah didapatkan dalam keadaan murni, yang pada umumnya pasir kuarsa tercampur dengan lempung, feldspar (Na, K, Al, Ca dan *silikat*), *magnetit* (F_3O_4), *limonit* [$\text{FeO} (\text{OH})_n \text{H}_3\text{O}$], *pirit* (FcSz), *ilmenit* (FeO , TiOQ), mika (gabungan mineral), *biotit* [$\text{K} (\text{Mg}, \text{Fe})_3 (\text{AlSiO}_3 0.0)$], *zirkon* (Zr , SiO_4), (OHM, hornblende [$\text{Ca}_2 \text{Na} (\text{Mg} \text{Fez}); (\text{Al}, \text{Fe}_3, \text{Ti})_3 \text{Sig } 022 (\text{O.OH})_2$]. dan bahan organik dari tumbuhan. (Sukandarrumidi, 2018).

Pasir kuarsa yang juga dikenal dengan nama pasir putih merupakan hasil pelapukan batuan sedimen yang banyak mengandung mineral utama yaitu mineral silika dan *feldspar*, pasir kuarsa dari proses pelapukan tercuci oleh air dan terbawa angin yang selanjutnya terendapkan ditepi laut, danau dan sungai. Pasir kuarsa di alam ditemukan dengan kemurnian yang cukup bervariasi tergantung dari proses terbentuknya, disamping adanya material pengotor lainnya yang terbawa selama proses pengendapan. (Teguh prayogo dan Bayu Budiman, 2009).

Proses pemurnian silika dapat dilakukan dengan berbagai metode diantaranya yaitu metode kimia, fisika, biologi, serta gabungan antara ketiga metode tersebut. Proses pemurnian silika dapat juga dilakukan dengan proses

leaching asam dengan memerankan asam organik dan asam anorganik sebagai bahan penggunaannya. Proses pemurnian silika juga dapat dilakukan dengan metode *leaching* dengan *treatment sonikasi*. *Sonikasi* dalam pemurnian silika digunakan sebagai energi untuk mempercepat proses *leaching*. Mineral pasir kuarsa memiliki struktur kristal heksagonal yang terbuat dari silika trigonal terkristalisasi *silicon dioksida* (SiO_2), dengan densitas $2,65 \text{ g/cm}^3$ dan skala kekerasan 7 mohs . Bentuk umum dari pasir kuarsa adalah berupa prisma segienam yang memiliki ujung piramida segienam (Sandy Dwi Hardin, 2018).

Pasir kuarsa biasanya dimanfaatkan untuk berbagai keperluan dengan berbagai ukuran tergantung aplikasi yang dibutuhkan seperti dalam industri ban, karet, gelas, semen, beton, keramik, tekstil, kertas, kosmetik, elektronik, cat, film, pasta gigi, dan lain-lain. Saat ini dengan perkembangan teknologi mulai banyak aplikasi penggunaan silika pada industri semakin meningkat terutama dalam penggunaan silika pada ukuran partikel yang kecil sampai ukuran mikron atau bahkan nanosilika. Kondisi ukuran partikel bahan baku yang diperkecil membuat produk memiliki sifat yang berbeda yang dapat meningkatkan kualitas. (Siswanto, 2012).

Silika umumnya paling banyak ditemukan di alam dalam bentuk pasir, sering disebut pasir silika atau pasir kuarsa. Silika di alam berasal dari batuan beku dan batuan metamorf yang hancur selama proses pelapukan kemudian mengalami transportasi dan pengendapan (Azhari dan Muchtar Aziz, 2016).

Pasir merupakan logam kedua yang paling banyak ditemukan di Bumi yang membentuk 5% dari pada kerak bumi. Pasir kuarsa juga merupakan bahan

alam yang banyak tersedia di Indonesia dan memiliki kekuatan yang hebat sehingga banyak dimanfaatkan oleh manusia, seperti yang telah dijelaskan oleh Allah swt. dalam QS. al- Jatsiyah/45:13 (Kementrian Agama R.I, 2013: 832).

وَسَخَّرَ لَكُمْ مَا فِي السَّمَاوَاتِ وَمَا فِي الْأَرْضِ جَمِيعًا مِنْهُ إِنَّ فِي ذَلِكَ
لَآيَاتٍ لِّقَوْمٍ يَتَفَكَّرُونَ ١()٣

Terjemahnya :

“Dan Dia telah menundukkan untukmu apa yang di langit dan apa yang di bumi semuanya, (sebagai rahmat) daripada-Nya. Sesungguhnya pada yang demikian itu benar-benar terdapat tanda-tanda (kekuasaan Allah) bagi kaum yang berfikir”.

Berdasarkan ayat di atas, Muhammad Quraish Shihab menjelaskan bahwahnya Dia pula yang menciptakan kesemuanya itu, untuk maslahat kalian, menundukkan seluruh benda langit yang berupa bintang- bintang yang gemerlapan dan bermacam planet, dan semua yang ada di bumi berupa tanaman, susu yang banyak, tanah yang subur, air, api, udara, dan padang pasir.

Pasir kuarsa merupakan jenis pasir yang berwarna putih yang terbentuk dari endapan batuan. Integrasi al-Qur’an tentang pasir yaitu Allah swt berfirman QS Al-Muzzammil/73:14 :

يَوْمَ تَرُجُفُ الْأَرْضُ وَالْجِبَالُ وَكَانَتِ الْجِبَالُ كَثِيبًا مَّهِيلًا ١()٤

Terjemahnya:

“Pada hari bumi dan gunung-gunung berguncangan, dan menjadilah gunung-gunung itu tumpukan-tumpukan pasir yang betebrangan” (Kementrian Agama, RI; 2012).

Berdasarkan ayat di atas, Muhammad Quraish Shihab menjelaskan bahwahnya pada hari ketika bumi dan gunung-gunung bergoncang dengan amat

kerasnya, sehingga gunung- gunung yang sebelumnya terdiri atas batu-batu yang kuat dan kokoh menjadi tumpukan-tumpukan pasir yang beterbangan.

Berdasarkan ayat tersebut menyatakan kekuasaan Allah swt yang yang menggoyangkan bumi dan gunung-gunung menjadi pasir yang bertebrangan. Pasir yang terbentuk ini ada berbagai macam warna tergantung dari mineral yang dikandungnya. Pasir yang berwarna putih mengandung silika yang mempunyai manfaat yang banyak bagi manusia. Manusia harus banyak-banyak bersyukur atas apa yang telah Allah berikan kepada mereka.

Tabel 2.1 Komposisi Kimia Pasir Kuarsa Indonesi Secara Umum.

Komposisi Kimia	Presentase
SiO ₂	55,30-99,87 %
Fe ₂ O ₃	0,01-9,14 %
Al ₂ O ₃	0,01-18,00%
TiO ₂	0,01-0,49 %
CaO	0,01-3,24 %
MgO	0,01-0,26 %
K ₂ O	0,01-17,00 %

Sumber: Prayogo dan Bayu Budiman, 2009

Tabel 2.2 : Sifat Fisik Pasir Kuarsa Indonesia

Sifat Fisik	Deskripsi
Warna	Putih bening atau berwarna lain tergantung pada kandungan senya pengotornya, misal merah mengandung Cu oksida dan kuning mengandung Fe oksida,
Kekerasa	7 (Skala Mohs)

Bentuk Kristal	Hexagonal
Konduktivitas Panas	12-100°C
Panas spesifik	0,185 J
Titik Lebur	± 1715°C
Berat Jenis	2,65 g/cm ³

Sumber: Prayogo dan Bayu Budiman, 2009

2.2 Mineral

Mineral adalah padatan senyawa kimia homogen, non-organik, yang memiliki bentuk teratur (sistem kristal) dan terbentuk secara alami. Istilah *mineral* termasuk tidak hanya bahan komposisi kimia tetapi juga struktur mineral. Mineral termasuk dalam komposisi unsur murni dan garam sederhana sampai silikat yang sangat kompleks dengan ribuan bentuk yang diketahui (senyawaan organik biasanya tidak termasuk). Ilmu yang mempelajari mineral disebut mineralogi. Ada lebih 3.000 macam mineral dengan tiap mineral memiliki ciri tertentu yang berbeda, tapi hanya sebagian saja yang merupakan penyusun dari batuan yang ada di bumi (Berbara Taylor, 2005). Salah satunya yaitu mineral kuarsa dan feldspar dapat dilihat pada gambar 2.1 dan 2.2.



Gambar 2.1: Mineral Kuarsa



Gambar 2.2: Mineral Feldspar

2.3 Batuan

Dalam geologi, batu (tunggal) dan batuan (jamak) adalah benda padat atau solid yang terbuat secara alami dari mineral dan atau mineraloid. Lapisan luar padat Bumi, litosfer, terbuat dari batuan. Dalam batuan umumnya adalah tiga jenis, yaitu batuan beku, sedimen, dan metamorf. Penelitian ilmiah mengenai batu-batuan disebut dengan istilah petrologi, dan petrologi merupakan komponen penting dari geologi. Berdasarkan cara terbentuknya batuan dapat dibedakan menjadi 3 yaitu batuan beku (*igneous rock*), batuan metamorf (*metamorphic rocks*) dan batuan sedimen (*sedimentary rocks*). Kebanyakan batuan terbentuk dari beberapa jenis mineral, misalnya batu pasir murni yang terdiri atas mineral kuarsa dimana merupakan mineral paling melimpah di alam, sedangkan granit terdiri atas tiga mineral yakni feldspar, kuarsa, dan mika.

Pengertian lain batuan adalah bahan padat berupa agregat dalam bentuk alamiah baik berupa bahan mineral maupun mineraloid (seperti opal, batubara, glass dll). Sebagian besar batuan terdiri dari berbagai jenis kandungan mineral

dengan sifat fisik dan kimia yang berbeda-beda (Muhammad Chaerul, 2011). Berdasarkan cara terbentuknya batuan dapat dibedakan menjadi 3 yaitu batuan beku (*igneous rock*), batuan metamorf (*metamorphic rocks*) dan batuan sedimen (*sedimentary rocks*). Kebanyakan batuan terbentuk dari beberapa jenis mineral, misalnya batu pasir murni yang terdiri atas mineral kuarsa dimana merupakan mineral paling melimpah di alam, sedangkan granit terdiri atas tiga mineral yakni feldspar, kuarsa, dan mika (Margaret Hynes, 2006).

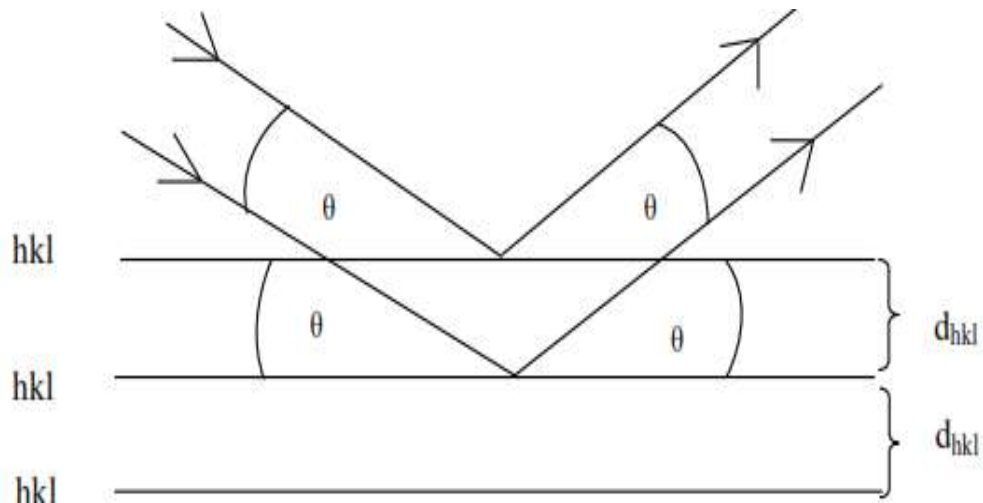


Gambar 2.3: Batu Pasir Yang Terbentuk Dari Butiran-Butiran Pasir Halus.

2.4 Difraksi Sinar-X

Sinar-x atau sinar *Rontgen* adalah gelombang elektromagnetik yang mempunyai panjang gelombang antara $0,1 - 100 \text{ \AA}$ dan memiliki energi dalam rentang $100 \text{ eV} - 100 \text{ Kev}$. Sinar-X umumnya digunakan dalam diagnosis gambar medis dan Kristalografi sinar-X. Apabila seberkas sinar-X yang sejajar dan monokromatik dijatuhkan pada bidang kristal, maka sinar-X tersebut akan mengalami hamburan oleh atom-atom yang menyusun bidang kristal tersebut.

Peristiwa hamburan pada kristal ini dikenal sebagai hukum Bragg seperti pada gambar 2.4 :



Gambar 2.4 : Peristiwa Difraksi Pada Kristal

Menurut pendekatan Bragg, kristal dapat dipandang sebagai bidang-bidang yang datar yang masing-masing berfungsi sebagai cermin semi transparan. Jika sinar-X ditembakkan pada tumpukan bidang datar tersebut dengan sudut pantul yang sama dengan sudut datangnya maka sinar tersebut akan dipantulkan, sedangkan sisanya akan diteruskan menembus bidang.

2.4.1 *X-Ray Diffraction (XRD)*

X-Ray Diffraction (XRD) merupakan salah satu metode karakteristik material yang paling tua dan paling sering digunakan hingga sekarang. Teknik ini digunakan untuk mengidentifikasi fasa kristalin dalam material dengan cara menentukan parameter struktur kisi serta untuk mendapatkan ukuran partikel. Bahan yang dianalisa adalah tanah halus, homogenized, dan rata-rata komposisi massal ditentukan. (Ratnasari, 2009:3)

Pada waktu suatu material dikenai sinar-X, maka intensitas sinar yang ditransmisikan lebih rendah dari intensitas sinar datang. Hal ini disebabkan adanya penyerapan oleh material dan juga penghamburan oleh atom-atom dalam material tersebut. Berkas sinar-X yang dihamburkan tersebut ada yang saling menghilangkan karena fasanya berbeda dan ada juga yang saling menguatkan karena fasanya sama. Berkas sinar-X yang saling menguatkan itulah yang disebut sebagai berkas difraksi (Ratnasari, 2009: 2).

Hasil dari penembakan logam dengan elektron energi tertinggi dengan karakterisasi tersebut sinar-X mampu menembus zat padat sehingga dapat digunakan untuk menentukan struktur kristal. Hamburan sinar ini dihasilkan bila suatu elektron logam ditembak dengan elektron-elektron berkecepatan tinggi dalam tabung hampa udara (Beiser, 1992: 48).

2.4.2 Prinsip Kerja *X-Ray Diffraction (XRD)*

Prinsip kerja *XRD* secara umum adalah *XRD* terdiri dari tiga bagian utama, yaitu tabung sinar-X, tempat objek yang diteliti dan detektor sinar-X. Sinar-X dihasilkan di tabung sinar-X yang berisi katoda memanaskan filamen, sehingga menghasilkan elektron. Perbedaan tegangan menyebabkan percepatan elektron akan menembaki objek. Ketika elektron mempunyai tingkat energi yang tinggi dan menabrak elektron dalam objek sehingga dihasilkan pancaran sinar-X. Objek dan detektor berputar untuk menangkap dan merekam intensitas refleksi sinar-X. Detektor merekam dan memproses sinyal sinar-X dan mengolahnya dalam bentuk grafik (Ratnasari, 2009: 3).

Ketika berkas sinar-X menumbuk permukaan kristal membentuk sudut θ , maka akan dihamburkan oleh lapisan atom pada permukaan. Berkas sinar-X yang tidak dihamburkan menembus kelapisan atom kedua dimana berkas dihamburkan lagi, dan berlanjuta sampai kelapisan ketiga seperti pada gambar 2.1.

Jika panjang gelombang hamburan sinar-X tidak berubah (foton sinar-X tidak kehilangan banyak energi) dinamakan hamburan elastik (hamburan *Thompson*) dan terjadi transfer momentum dalam proses hamburan. Pada tahun 1912 W.L Bragg mempelajari difraksi sinar-x oleh kristal seperti ditunjukkan pada gambar 2.14 terlihat bahwa berkas tipis radiasi menumbuk permukaan kristal membentuk sudut θ , terjadi hamburan sebagai konsekuensi terjadinya interaksi radiasi dengan atom pada posisi O, P, dan R. Jika jarak $AP + PC = n \lambda$ dimana n adalah integer, radiasi yang dihamburkan berada pada O, C, D, dan kristal akan memantulkan radiasi sinar-X. Sedangkan $AP = PC = d \sin \theta$ dimana d adalah jarak antar bidang kristal. Sehingga dapat ditulis sebuah persamaan:

$$n\lambda = 2d \sin \theta \quad (2.1)$$

Keterangan: n = nomor orde hamburan

λ = panjang gelombang sinar-X

d = jarak antar bidang

θ = sudut difraksi

Persamaan (2.1) dikenal dengan persamaan Bragg. Dalam pola difraksi XRD, sudut difraksi yang ditampilkan adalah 2θ , dikarenakan sudut datang dianggap sama dengan sudut difraksi (Nurmawati, 2007).

Ukuran kristal dapat dihitung dengan menggunakan persamaan 2.2, dikenal sebagai persamaan *scherrer*.

$$D = \frac{k\lambda}{B\cos\theta} \quad (2.2)$$

Keterangan: D = Ukuran rata-rata kristal (nm)

k = Konstanta *scherrer* (0,9)

λ = Panjang gelombang Sinar-X (Å)

θ = Sudut difraksi (°)

B = Perluasan (FWHM) puncak difraksi yang dihitung dalam

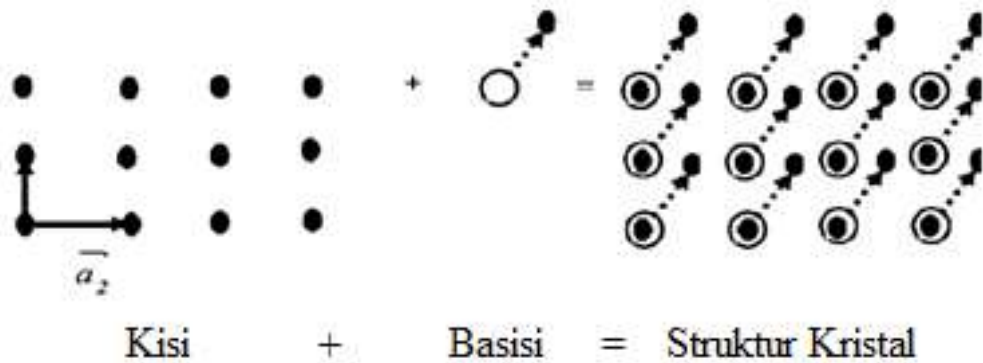
radian, dengan $\text{FWHM}(B) = \frac{1}{2}(2\theta_2 - 2\theta_1)$

(Bahanan, 2010).

2.5 Struktur Kristal

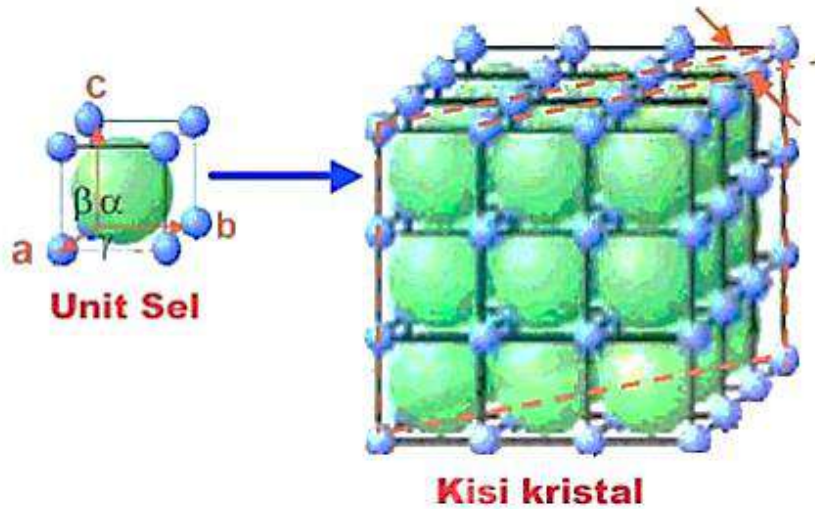
Dalam ilmu mineralogi dan kristalografi struktur kristal yaitu suatu susunan khas atom-atom dalam suatu kristal. Suatu struktur kristal dibangun oleh sel unit maupun sekumpulan atom yang tersusun secara khusus, yang secara periodik berulang dalam tiga dimensi dalam suatu kisi. (Wikipedia, 2019). Untuk menggambarkan struktur kristal dapat dijelaskan dalam istilah-istilah kisi dan sebuah basis yang ditempatkan pada setiap titik kisi. Kisi kristal adalah sebuah susunan titik-titik yang teratur dan periodik didalam ruangan, sedangkan basis adalah sekumpulan atom, dengan jumlah atom dalam sebuah basis dapat berisi satu

atom atau lebih. Jadi secara singkat struktur kristal adalah gabungan dari kisi dan basis, dan struktur kristal terjadi bila ditempatkan suatu basis pada setiap titik kisi.



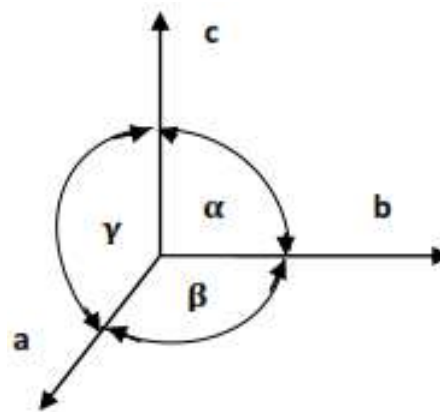
Gambar 2.5. Bagan Struktur Kristal

Kristal terbagi jadi dua jenis, yaitu kristal tunggal (*singlecrystal*) dan polikristal. Kristal tunggal adalah suatu material dimana semua atom-atomnya tersusun sendiri dalam satu arah, sedangkan polikristal adalah suatu material yang tersusun atas beberapa kelompok atom atau butir yang memiliki orientasi yang berbeda satu sama lain. Dalam menggambarkan struktur kristal sering disesuaikan dengan membagi struktur kristal menjadi satuan unit berulang yang lebih kecil yang disebut unit sel. Unit sel untuk kebanyakan struktur kristal adalah bidang sejajar atau prisma yang memiliki tiga bidang muka yang sejajar yang digambarkan dengan bola, dalam hal ini membentuk kubus. Unit sel merupakan unit struktur dasar atau blok penyusun struktur kristal dan menegaskan struktur kristal dengan geometri yang nyata dengan posisi atom di dalamnya (Bahanan, 2010).



Gambar 2.6 Unit Sel Dan Kisi Kristal

Susunan khas atom-atom dalam kristal disebut struktur kristal. Struktur kristal dibangun oleh sel satuan (*unit cell*). Sel satuan adalah bagian terkecil dari unit struktur yang dapat menjelaskan struktur suatu kristal. Tiga sisi suatu sel satuan disebut sudut-sudut permukaan batas (antar permukaan) seperti yang diperlihatkan pada gambar 2.6, pengulangan dari sel satuan akan mewakili struktur secara keseluruhan. (Fery, 2012)



Gambar 2.7 : Sumbu-Sumbu Dan Sudut-Sudut Antar Sumbu Kristal

Sumbu-sumbu a , b , dan c adalah sumbu-sumbu yang dikaitkan dengan parameter kisi kristal. Sedangkan a , β dan γ merupakan sudut antar sumbu-sumbu referensi

kristal. Hal ini ada tujuh kemungkinan kombinasi perbedaan dari rusuk a, b, c, dan sudut interaksi α , β , γ , yang mewakili perbedaan sistem kristal.

Berikut tabel sistem kristal dan parameter kisi:

Tabel 2.3: Sistem Kristal Dan Parameter Kisi

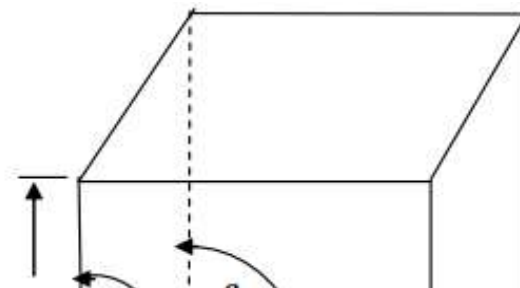
Sistem kristal	Parameter kisi
Kubik	$a = b = c$ $\alpha = \beta = \gamma = 90^\circ$
Orthorombik	$a \neq b \neq c$ $\alpha = \beta = \gamma = 90^\circ$
Monoklinik	$a = b \neq c$ $\alpha = \beta = 90^\circ \neq \gamma$
Tetragonal	$a = b \neq c$ $\alpha = \beta = \gamma = 90^\circ$
Trigonal/Rhombohedral	$a = b \neq c$ $\alpha = \beta = \gamma \neq 90^\circ > 120^\circ$
Triklinik	$a \neq b \neq c$ $\alpha = \beta = \gamma \neq 90^\circ$
Heksagonal	$a = b \neq c$ $\alpha = \beta = 90^\circ, \gamma = 120^\circ$

(Sumber: Kittel, 1976)

Struktur Kristal dikelompokkan menjadi 7 sistem kristal, yaitu :

1. Sistem Kubik

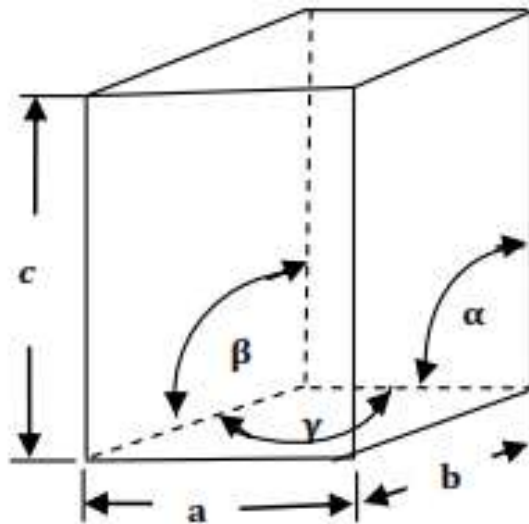
Sistem kubik merupakan sistem kristal kubus, dengan jumlah sumbu kristalnya terdiri dari tiga dan saling tegak lurus satu dengan yang lainnya. yaitu pada kondisi sebenarnya sistem kristal ini memiliki rasio perbandingan sumbu $a = b = c$. dengan sudut kristalografi $\alpha = \beta = \gamma = 90^\circ$. Hal ini berarti bahwa pada sistem ini semua sudut kristalnya (α , β dan γ) tegak lurus satu sama lain membentuk sudut 90° .



Gambar 2.8 : Sistem Kubik

2. Sistem Monoklinik

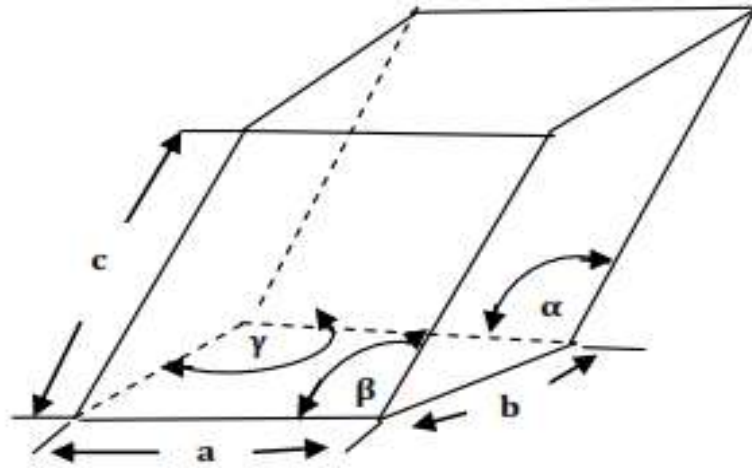
Sistem monoklinik memiliki tiga sumbu, ketiga sumbu tersebut mempunyai panjang yang tidak sama yaitu sumbu b yang tidak sama dengan sumbu c , namun sumbu a tegak lurus terhadap sumbu b , dengan rasio perbandingan sumbu $a = b \neq c$. Sudut kristalografi yaitu $\alpha = \beta = 90^\circ \neq \gamma$.



Gambar 2.9: Sistem Monoklinik

3. Sistem Triklinik

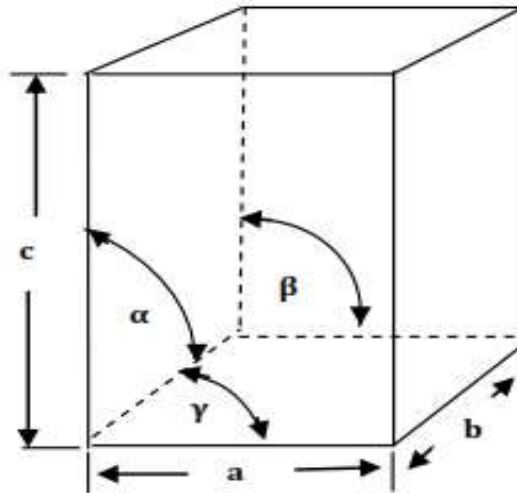
Sistem triklinik mempunyai tiga sumbu simetri yang satu dengan lainnya tidak saling tegak lurus. Demikian juga panjang masing-masing sumbunya tidak sama yaitu $a \neq b \neq c$ dan juga memiliki sudut kristalografi $\alpha = \beta = \gamma \neq 90^\circ$. Hal ini berarti sistem sudut α , β dan γ tidak saling tegak lurus satu dan yang lainnya



Gambar 2.10 : Sistem Triklinik

4. Sistem Tetragonal

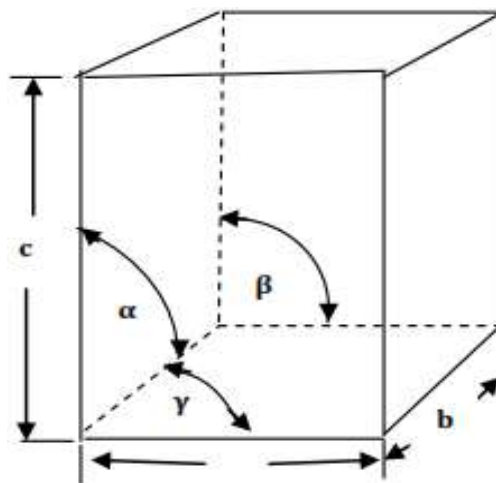
Sistem tetragonal ini sama dengan sistem kubik yang mempunyai tiga sumbu kristal masing-masing saling tegak lurus. Sumbu a dan b mempunyai satuan panjang sama sedangkan sumbu c berlainan, dapat lebih pendek atau lebih panjang. Tapi umumnya lebih panjang. Pada kondisi sebenarnya perbandingan sumbu $a = b \neq c$. Dengan sudut kristalografi $\alpha = \beta = \gamma = 90^\circ$.



Gambar 2.11: Sistem Tetragonal

5. Sistem Orthorhombik

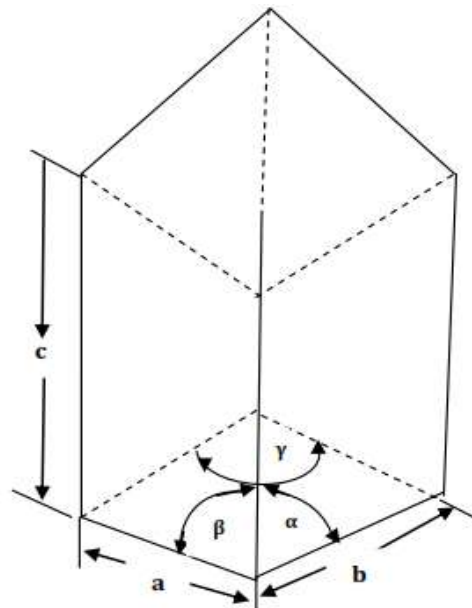
Sistem orthorombik ini disebut juga sistem Rhombis dan mempunyai tiga sumbu simetri kristal yang saling tegak lurus satu dengan yang lainnya. Ketiga sumbu tersebut mempunyai panjang yang berbeda. Pada kondisi sebenarnya, sistem kristal Orthorhombik memiliki perbandingan sumbu $a \neq b \neq c$ dan juga memiliki sudut kristalografi $\alpha = \beta = \gamma = 90^\circ$. Hal ini berarti bahwa, pada sistem ini ketiga sudutnya saling tegak lurus (90°).



Gambar 2.12: Sistem Orthorhombik

6. Sistem Trigonal

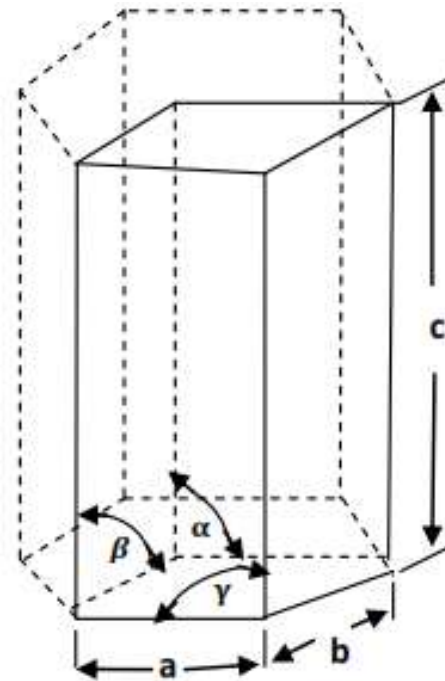
Sistem trigonal memiliki rasio perbandingan sumbu $a = b \neq c$, yang artinya panjang sumbu a dan b sama, tapi tidak sama dengan sumbu c dan juga memiliki kristalografi $\alpha = \beta = \gamma \neq 90^\circ > 120^\circ$. Hal ini berarti bahwa, pada sistem ini sudut α dan β saling tegak lurus dan membentuk sudut 120° terhadap sumbu γ .



Gambar 2.13: Sistem Trigonal

7. Sistem Hexagonal

Sistem hexagonal ini mempunyai 3 sumbu kristal, dimana sumbu a dan b memiliki panjang yang sama. Sedangkan panjang sumbu c berbeda. Dapat lebih panjang atau lebih pendek (umumnya lebih panjang). Pada kondisi sebenarnya, sistem kristal hexagonal memiliki rasio perbandingan sumbu $a = b \neq c$ dan juga memiliki sudut kristalografi $\alpha = \beta = 90^\circ$; $\gamma = 120^\circ$. Ini berarti bahwa sudut α dan β saling tegak lurus dan membentuk sudut 120° terhadap sumbu γ .



Gambar 2.14: Sistem Hexagonal

2.6 Teknik Pengambilan Sampel

Sampel merupakan bagian populasi penelitian yang digunakan untuk memperkirakan hasil dari suatu penelitian. Sedangkan teknik sampling adalah bagian dari metodologi statistika yang berkaitan dengan cara-cara pengambilan sampel. Pengertian sampling atau metode pengambilan sampel menurut penafsiran beberapa ahli . Beberapa diantaranya adalah sebagai berikut;

- Teknik sampling adalah teknik pengambilan sampel (*Sugiyono, 2001: 56*).
- Teknik sampling adalah cara untuk menentukan sampel yang jumlahnya sesuai dengan ukuran sampel yang akan dijadikan sumber data sebenarnya, dengan memperhatikan sifat-sifat dan penyebaran populasi agar diperoleh sampel yang representatif. (*Margono, 2004*)

BAB III

METODE PENELITIAN

3.1 Waktu dan Tempat Penelitian

Penelitian ini dilaksanakan pada bulan Mei 2019, yang bertempat di sungai Saddang, Desa Pincara, Kecamatan Patampanua, Kabupaten Pinrang. Sementara untuk pengolahan dan pengujian sampel dilakukan di Laboratorium XRD Fakultas MIPA UNHAS

3.2 Alat dan Bahan

Alat dan bahan yang akan digunakan pada penelitian ini adalah sebagai berikut:

3.2.1 Alat

Beberapa alat yang akan digunakan pada penelitian ini, yaitu sebagai berikut :

1. XRD (*X-Ray Diffraction*)
2. GPS (*Global Positioning System*)
3. Roll Meter
4. Sekop
5. Spidol
6. Spatula
7. Sampel Holder

3.2.2 Bahan

Bahan yang akan digunakan pada penelitian ini berupa pasir kuarsa yang berasal dari sungai Saddang, Kabupaten Pinrang.

3.3 Prosedur Penelitian

Pada penelitian ini akan dilakukan empat tahap penelitian:

3.3.1 Pengambilan Sampel

Adapun tahap pengambilan sampel pada penelitian ini yaitu:

1. Memplot titik koordinat lokasi penelitian yang akan diambil sampel pasir kuarsanya dengan menggunakan GPS.
2. Selanjutnya melakukan pengambilan sampel dengan menggunakan metode sumur uji (*Test Pit*) pada kedalaman yang berbeda-beda yaitu pada permukaan hingga kedalaman 1 meter dengan menggunakan sekop.
3. Menentukan kode sampel yaitu:
 - a) Sampel A = pasir kuarsa yang berada di bagian permukaan.
 - b) Sampel B = pasir kuarsa yang berada di kedalaman 50 cm.
 - c) Sampel C = pasir kuarsa yang berada di kedalaman 1 m.
4. Selanjutnya masing-masing sampel yang berkode dimasukkan ke dalam kantong sampel.

3.3.2 Preparasi Sampel

Tahap dari preparasi sampel, yaitu sampel pasir yang telah diambil kemudian dibersihkan dari kotoran-kotoran kemudian dijemur selama dua hari untuk menghilangkan kandungan air yang ada pada sampel tersebut.

3.3.3 Karakteristik Sample Pasir Kuarsa dengan Menggunakan X-Ray Diffraction (XRD).

- 1) Menekan tombol *power* pada mesin XRD dan menunggu sampai 5 menit sebelum difraksi sinar X diaktifkan.

- 2) Selanjutnya memasukkan sampel ke plat aluminium berukuran 2×2 cm sesuai dengan ukuran holder.
- 3) Menekan tombol *on* untuk menyalakan XRD.
- 4) Selanjutnya plat aluminium yang berisi sampel dikarakteristik dengan menggunakan XRD-7000 SHIMADZU dengan sumber Cu-K α 1, yang memiliki panjang gelombang tertentu dalam satuan Å. Kemudian mengatur besarnya tegangan dan arus yang akan digunakan. Selanjutnya pengambilan data difraksi dilakukan dalam rentang sudut antara dua puluh derajat sampai dengan tujuh puluh derajat
- 5) Menembakkan sinar-X menuju sampel, sehingga membuat detektor berputar sesuai dengan rentang sudut difraksi 2θ yang digunakan. Selanjutnya setelah menembakkan maka akan terbaca pada monitor atau layar komputer grafik difraktogram yaitu grafik hubungan intensitas dengan 2θ . Grafik difraktogram ini kemudian dimasukkan dan di olah dengan menggunakan bantuan *Software Search and Match*. Selanjutnya *software Search and match* ini memberikan informasi tentang struktur kristal yang terdapat pada sampel.
- 6) Menunggu sampai *running* selesai.
- 7) Mengulangi langkah kedua sampai dengan langkah keenam secara sistematis sebanyak dua kali
- 8) Menekan tombol *off* pada *X-Ray*.

3.3.4 Mengaktifkan Program *Software Match*.

- 1) Mengimpor file dokumen atau data hasil difraksi sinar-X yang telah tersimpan dalam komputer dengan cara mengklik ikon (+) pada tampilan utama *software Search-Match*.
- 2) Selanjutnya membuka data *file* yang berformat “*raw*” dengan cara mengklik dua kali atau memilih *file* yang berformat “*raw*” tersebut kemudian klik “*OPEN*”.
- 3) Mengatur tampilan grafik pada *software Search-Match*.
- 4) Memilih mineral-mineral yang sesuai dengan cara mencocokkan garis tegak lurus dengan puncak grafik sebagai nilai puncak pada grafik hasil difraksi sinar-X pada *software Search-Match*.
- 5) Kemudian *Software Match* ini juga akan memberikan informasi mengenai mineral, struktur kristal, sel parameter, dan densitas yang terdapat pada sampel.
- 6) Selanjutnya menghitung besarnya ukuran kristal atau parameter kisi pada sampel dengan menggunakan persamaan *Scherrer*.

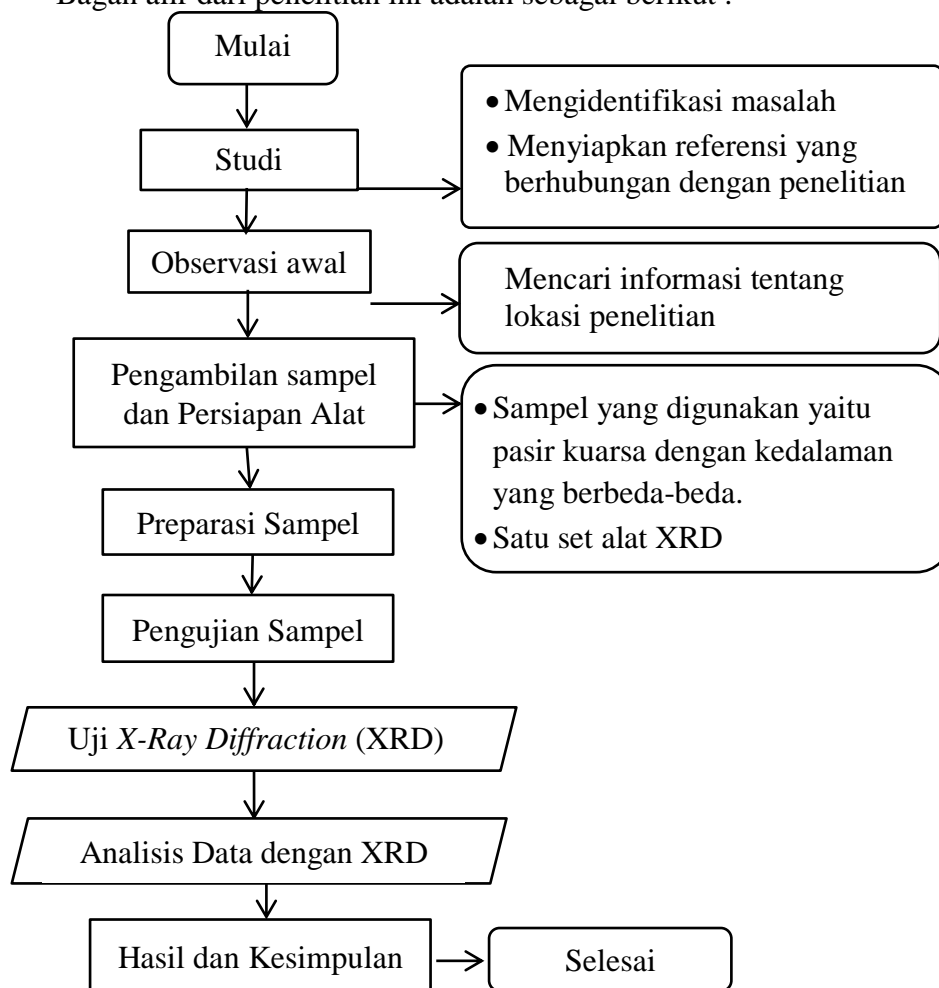
3.4 Tabel Pengamatan

Tabel 3.1 : Hasil Karakteristik Material Pasir Kuarsa (Setiap Sampel) Dengan Menggunakan *X-Ray Diffraction* (XRD)

Karakteristik Material Pasir Kuarsa (Setiap Sampel)					
Kandungan Mineral	Struktur Kristal	Persentase Kandungan Mineral	Density (gr/cm ³)	Parameter Kisi (Å)	Ukuran Kristal (nm)

3.5 Bagan Alir Penelitian

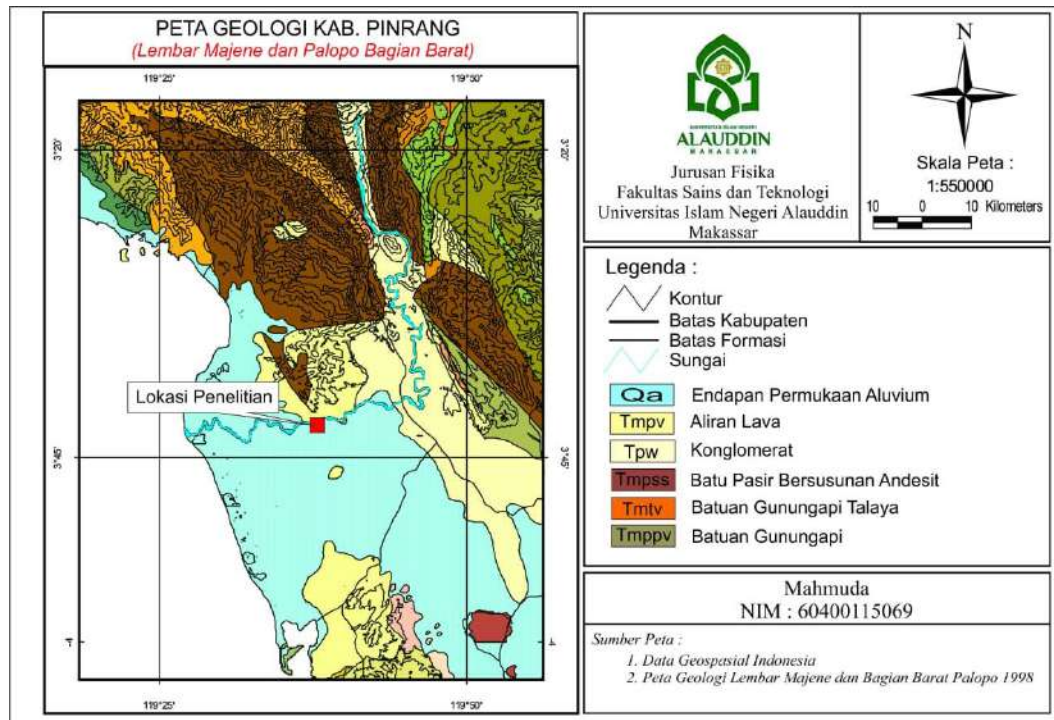
Bagan alir dari penelitian ini adalah sebagai berikut :



Gambar 3.1 : Bagan Alir Penelitian

BAB IV HASIL DAN PEMBAHASAN

4.1 Hasil Penelitian



Gambar 4.1: Peta Titik Lokasi Pengambilan Sampel

Penelitian ini dilakukan di sungai Saddang kabupaten Pinrang, kecamatan Duampanua desa Masoloe Provinsi Sulawesi Selatan. Secara geografis kabupaten Pinrang terletak pada koordinat $3^{\circ}19'13''$ LS hingga $4^{\circ}10'30''$ LS dan $119^{\circ}26'30''$ BT hingga $119^{\circ}26'30''$ BT, berbatasan dengan Kabupaten Tana Toraja di sebelah utara, Kabupaten Enrekang dan Sidenreng di sebelah timur, Kabupaten Polewali dan selat Makassar di sebelah barat serta kota madya Parepare di sebelah selatan. Luas daerah ini mencapai $1961,77 \text{ km}^2$.

Pengambilan sampel dilakukan pada satu titik dan menggunakan metode sumur uji. Dimana sampel diambil pada kedalaman yang berbeda-beda, yaitu pada permukaan, kedalaman 50 cm dan kedalaman 100 cm.

Sampel pasir yang sudah diambil, kemudian dibersihkan dan dijemur selama 1-2 hari agar kandungan airnya hilang. Setelah itu sampel dihaluskan menggunakan penggerus.

Pengujian karakteristik sampel pasir kuarsa dilakukan di laboratorium Fakultas MIPA Universitas Hasanuddin dengan menggunakan *X-Ray Diffraction* (XRD) dimana sampel yang telah digerus sampai berbentuk serbuk diambil sebanyak 1 gram dan dimasukkan ke dalam sampel *holder* kemudian meratakan dan memampatkan dengan cara menekan menggunakan alat *pressing*, selanjutnya sampel *holder* diletakkan pada penjepit sampel yang ada pada alat XRD kemudian menekan tombol on. Sampel akan terkarakterisasi dengan cara dikenai sinar-X dengan sumber radiasi Cu dengan rentang sudut 2θ mulai 20° sampai 70° , sehingga terbentuk difraksi dengan pola tertentu yang ditunjukkan pada difraktogram dengan hasil karakterisasi sampel ditunjukkan pada layar komputer yang terhubung dengan XRD. Data hasil pengujian XRD ditampilkan dalam bentuk grafik difraktogram yang menyatakan hubungan antara sudut hamburan (2θ) dengan intensitas (I) puncak difraksi.

Hasil uji XRD ketiga sampel menggunakan *software match2* yang ditampilkan dalam bentuk grafik pola difraksi atau yang umum dikenal dengan grafik difraktogram, kemudian dianalisis dengan cara mencocokkan data sampel grafik pola difraksi dengan *database match* pada setiap sampel. Dari *database* diperoleh data berupa sistem kristal, parameter kisi dan densitas. Untuk mencari nilai rata-rata ukuran kristal dapat dihitung dengan menggunakan persamaan *scherrer*.

Berdasarkan hasil uji sampel menggunakan XRD dengan panjang gelombang sinar-X (λ) = 1.540600 Å dan orde pembiasan (n) = 20-70 maka diperoleh hasil pada tabel berikut:

Tabel 4.1: Hasil Karakteristik Material Pasir Kuarsa (Sampel A) Pada Permukaan Dengan Menggunakan XRD :

Karakteristik Material Pasir Kuarsa (Sampel A)					
Kandungan mineral	Struktur Kristal	Persentase Kandungan	Density (gr/cm ³)	Parameter kisi (Å)	Ukuran Kristal (nm)
Silicon dioksida (SiO ₂)	Hexagonal	50.10%	2.651	a = 4.9115	34,034
				b = 4.9115	
				c = 5.4038	
Potassium Oksida (K ₂ O)	Cubic	15.30%	2.347	a = 6.4360	35,408
				b = 6.4360	
				c = 6.4360	
Aluminium Oksida (Al ₂ O ₃)	Cubic	6.10%	1.566	a = 5.6700	34,095
				b = 5.6700	
				c = 5.6700	
Ferioksida (Fe ₂ O ₃)	Rhombohedral	18.30%	5.943	a = 6.1320	34,052
				b = 6.1320	
				c = 6.1320	
Kalsium Oksida (CaO)	Tetragonal	5.20%	1.61	a = 5.0100	34,095
				b = 5.0100	
				c = 5.9200	
Titanium Dioksida (TiO ₂)	Tetragonal	4.90%	3.956	a = 3.7710	33,931
				b = 3.7710	
				c = 9.4300	

Tabel 4.2: Hasil Karakteristik Material Pasir Kuarsa (Sampel B) Pada Kedalaman 50 Cm Dengan Menggunakan XRD

Karakteristik Material Pasir Kuarsa (Sampel B)					
Kandungan mineral	Struktur Kristal	Persentase Kandungan	Density (gr/cm ³)	Parameter kisi (Å)	Ukuran Kristal (nm)
Silicon dioksida (SiO ₂)	Hexagonal	72.60%	2.974	a = 4.7050	51,174
				b = 4.7050	
				c = 5.2500	
Potassium Oksida (K ₂ O)	Tetragonal	5.20%	2.165	a = 5.7040	50,890
				b = 5.7040	
				c = 6.6990	
Aluminium Oksida (Al ₂ O ₃)	Triclinic	5.20%	5.044	a = 3.4009	52,319
				b = 2.7895	
				c = 7.0762	
Ferioksida (Fe ₂ O ₃)	Orthorhombic	0.60%	7.044	a = 6.6428	51,057
				b = 4.6003	
				c = 4.9263	
Kalsium Oksida (CaO)	Tetragonal	9.80%	1.61	a = 5.0100	54,139
				b = 5.0100	
				c = 5.9200	
Titanium Dioksida (TiO ₂)	Tetragonal	2.80%	3.814	a = 3.8040	50,89
				b = 3.8040	
				c = 9.6140	
Magnesium Oksida (MgO)	Cubic	3.80%	4.589	a = 3.8780	51,407
				a = 3.8780	
				a = 3.8780	

Tabel 4.3: Hasil Karakteristik Material Pasir Kuarsa (Sampel C) Pada Kedalaman 100 cm Dengan Menggunakan XRD

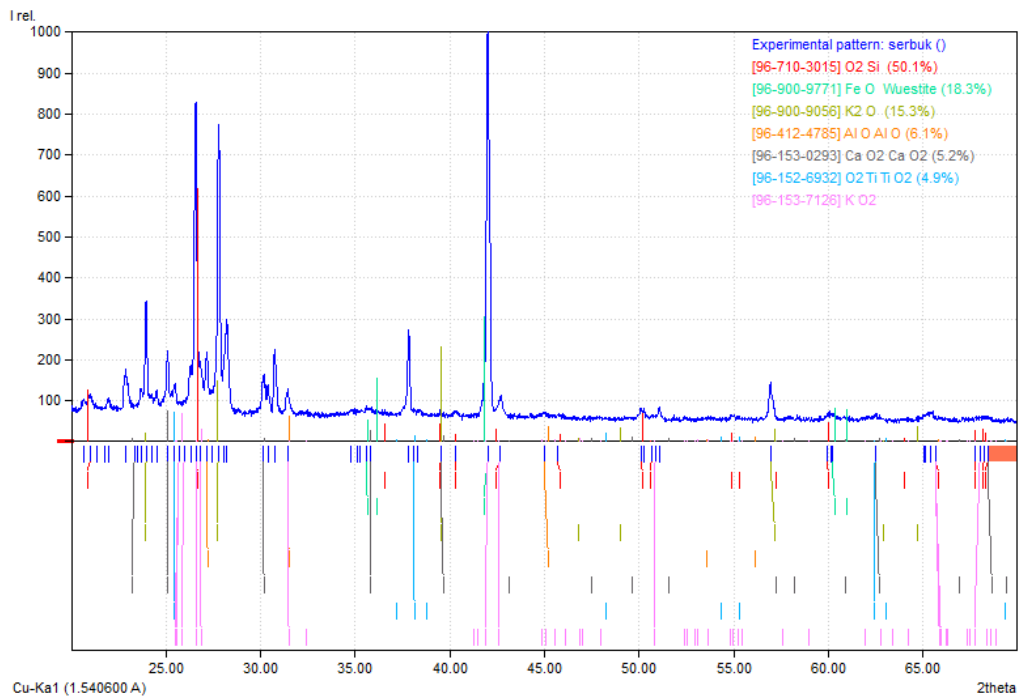
Karakteristik Material Pasir Kuarsa (Sampel C)					
Kandungan mineral	Struktur Kristal	Persentase Kandungan	Density (gr/cm ³)	Parameter kisi (Å)	Ukuran Kristal (nm)
Silicon dioksida (SiO ₂)	Hexagonal	68.30%	3.645	a = 4.1960	34,034
				b = 4.1960	
				c = 5.4054	
Potassium Oksida (K ₂ O)	Tetragonal	8.60%	2.165	a = 5.7040	33,969
				b = 5.7040	
				c = 6.6990	
Aluminium Oksida (Al ₂ O ₃)	Rhombohedral	1.50%	3.995	a = 4.7540	34,095
				b = 4.7540	
				c = 4.7540	
Ferioksida (Fe ₂ O ₃)	Orthorhombic	6.40%	7.044	a = 6.6428	34,052
				b = 4.6003	
				c = 4.9263	
Kalsium Oksida (CaO)	Tetragonal	3.70%	1.61	a = 5.0100	35,561
				b = 5.0100	
				c = 5.9200	
Titanium Dioksida (TiO ₂)	Tetragonal	7.00%	4.254	a = 4.5900	33,931
				b = 4.5900	
				c = 2.9600	
Magnesium Oksida (MgO)	Cubic	4.60%	3.544	a = 4.22700	34,994
				b = 4.22700	
				c = 4.22700	

4.2 Pembahasan

Pola difraksi sinar-X yang dihasilkan dari ke-tiga sampel pasir kuarsa terbentuk beberapa *peak*. Setiap *peak* pola difraksi yang terbentuk didasarkan pada sampel yang diuji oleh XRD. *Peak* yang diperoleh mempunyai tinggi

intensitas yang berbeda-beda. Uji XRD dengan menggunakan *software match2* dari ke-tiga sampel ditampilkan dalam grafik difraktogram:

4.1.1 Hasil karakteristik material pasir kuarsa (Sampel A)



Gambar 4.2: Grafik Pola Difraksi Sampel A

Hasil karakteristik sampel A dapat dilihat pada grafik difraktogram 4.2, dari grafik diketahui adanya kandungan *silicon oksida* (SiO_2) dengan komposisi kimia lainnya yaitu *potassium oksida* (K_2O), *aluminium oksida* (Al_2O_3), *ferrioksida* (Fe_2O_3), *titanium oksida* (TiO_2), dan *kalsium oksida* (CaO)

Dari grafik ditemukan kandungan senyawa paling tinggi yaitu *silicon oksida* (SiO_2) sebanyak 50.10% yang memiliki struktur kristal *hexagonal*. *Hexagonal* memiliki 3 sumbu kristal yaitua dan b yang sama panjang, sedangkan sumbu c memiliki panjang yang berbeda. Sistem *trigonal* memiliki rasio perbandingan sumbu yaitu $a = b \neq c$. Parameter kisi pada *silicon oksida* (SiO_2)

dari analisis diperoleh yaitu $a = 4,9115 \text{ \AA}$ $c = 5,4038 \text{ \AA}$ dengan ukuran kristal sebesar 34,034 nm dan nilai densitasnya sebesar $2,651 \text{ gr/cm}^3$.

Ferrioksida (Fe_2O_3) sebanyak 18.30% memiliki struktur Kristal *Rhombohedral* yang memiliki rasio perbandingan sumbu $a = b = c$, sehingga sumbu a, b dan c memiliki panjang yang sama. Parameter kisi *ferrioksida* (Fe_2O_3) dari hasil analisis diperoleh $a = 6,1320 \text{ \AA}$ dengan ukuran rata-rata kristal sebesar 34,052 nm dan nilai densitasnya yaitu $5,943 \text{ g/cm}^3$.

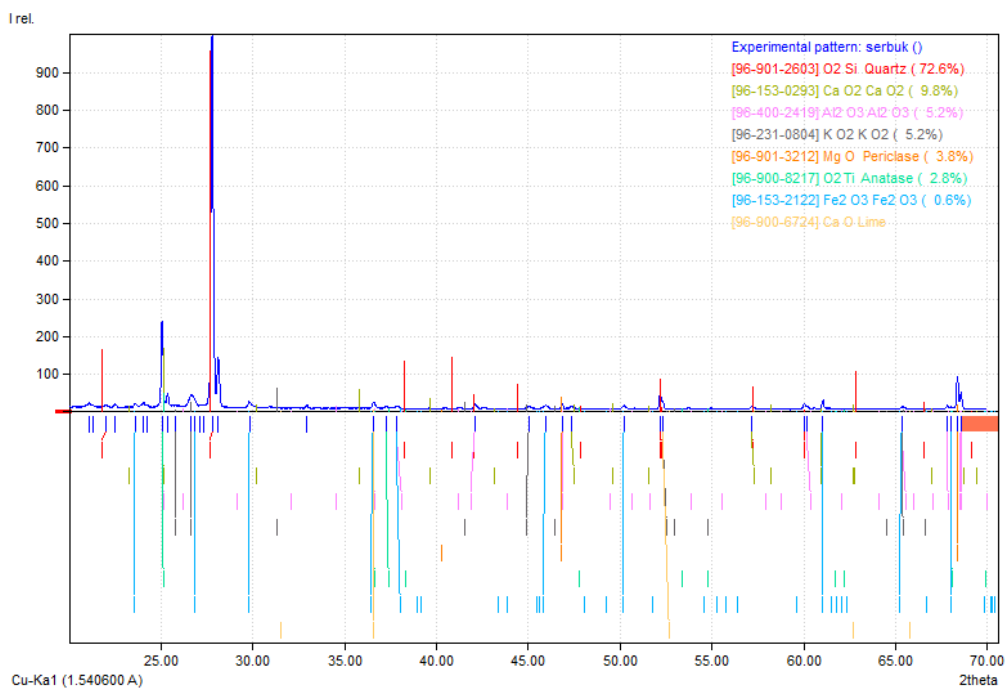
Titanium oksida (TiO_2) sebanyak 4.90% memiliki struktur Kristal *tetragonal* mempunyai rasio perbandingan sumbu $a = b \neq c$, sumbu a dan b sama panjang, sedangkan sumbu c tidak sama panjang. Parameter kisi *titanium oksida* (TiO_2) dari hasil analisis diperoleh $a = 3,7710 \text{ \AA}$ $c = 9,4300 \text{ \AA}$ dengan ukuran rata-rata kristal sebesar 33,931 nm dan nilai densitasnya adalah $3,956 \text{ g/cm}^3$.

Kalsium oksida (CaO) sebanyak 5.20% memiliki struktur kristal *tetragonal* memiliki rasio perbandingan sumbu $a = b \neq c$, dengan sumbu a dan b sama panjang, sedangkan sumbu c tidak sama panjang. Parameter kisi *kalsium oksida* (CaO) dari hasil analisis diperoleh $a = 5,0100 \text{ \AA}$ $c = 5,9200 \text{ \AA}$ dengan ukuran rata-rata kristal sebesar 34,095 nm dan nilai densitasnya adalah $1,61 \text{ g/cm}^3$.

Aluminium oksida (Al_2O_3) sebanyak 6.10% memiliki struktur kristal *cubic* yang memiliki rasio perbandingan sumbu $a = b = c$, dengan sumbu a, b dan c sama panjang. Parameter kisi *magnesium oksida* (MgO) dari hasil analisis diperoleh $a = 5,6700 \text{ \AA}$ dengan ukuran rata-rata kristal sebesar 34,095 nm dan nilai densitasnya adalah $1,566 \text{ g/cm}^3$.

Potassium oksida (K_2O) sebanyak 15.30% memiliki stuktur kristal *cubic* yang memiliki rasio perbandingan sumbu $a = b = c$, dengan sumbu a , b dan c sama panjang. Parameter kisi *potassium oksida* (K_2O) dari hasil analisis diperoleh $a = 6,4360 \text{ \AA}$ dengan ukuran rata-rata kristal sebesar 35,408 nm dan nilai densitasnya adalah $2,347 \text{ g/cm}^3$.

4.1.2 Hasil karakteristik material pasir kuarsa (Sampel B)



Gambar 4.3: Grafik Pola Difraksi Sampel B

Dari grafik difraktogram 4.3, diperoleh adanya kandungan *silicon oksida* (SiO_2) dengan komposisi kimia lainnya yaitu *magnesium oksida* (MgO), *aluminium oksida* (Al_2O_3), *titanium oksida* (TiO_2), *potassium oksida* (K_2O), *ferioksida* (Fe_2O_3) dan *kalsium oksida* (CaO).

Grafik 4.3 menunjukkan senyawa paling tinggi yaitu *silicon dioksida* (SiO_2) yakni sebanyak 72.60% memiliki stuktur kristal *hexagonal* dengan sumbu

a dan b sama panjang sedangkan sumbu c berbeda dengan rasio perbandingan sumbu $a = b \neq c$. Parameter kisi *silicon dioksida* (SiO_2) dari hasil analisis diperoleh $a = 4,7050 \text{ \AA}$ $c = 5,2500 \text{ \AA}$ dengan ukuran rata-rata kristal sebesar 51,174 nm dan nilai densitasnya adalah $2,974 \text{ g/cm}^3$.

Potassium oksida (K_2O) sebanyak 5,20% memiliki stuktur kristal *tetragonal* dengan rasio perbandingan sumbu $a = b \neq c$, dengan sumbu a dan b sama panjang sedangkan sumbu c tidak sama panjang. Parameter kisi *potassium oksida* (K_2O) dari hasil analisis diperoleh $a = 5,7040 \text{ \AA}$ $c = 6,6990 \text{ \AA}$ dengan ukuran rata-rata kristal sebesar 50,890 nm dan nilai densitasnya yaitu $2,165 \text{ g/cm}^3$.

Aluminium oksida (Al_2O_3) sebanyak 5,20% yang memiliki stuktur kristal *triclinic* dengan rasio perbandingan sumbu yaitu $a \neq b \neq c$. Parameter kisi *aluminium oksida* (Al_2O_3) dari hasil analisis yaitu $a = 3,4009 \text{ \AA}$ $b = 2,7895 \text{ \AA}$ $c = 7,0762 \text{ \AA}$ dengan ukuran kristal sebesar 52,319 nm dan nilai density sebesar $5,044 \text{ gr/cm}^3$.

Ferrioksida (Fe_2O_3) sebanyak 0.60% memiliki stuktur kristal *orthorhombic* dengan rasio perbandingan sumbu $a \neq b \neq c$, sumbu a, b dan c tidak sama panjang. Parameter kisi *ferrioksida* (Fe_2O_3) dari hasil analisis diperoleh $a = 6,6428 \text{ \AA}$ $b = 4,6003 \text{ \AA}$ $c = 4,9263 \text{ \AA}$ dengan ukuran rata-rata kristal sebesar 51,057 nm dan nilai densitasnya sebesar $7,044 \text{ g/cm}^3$.

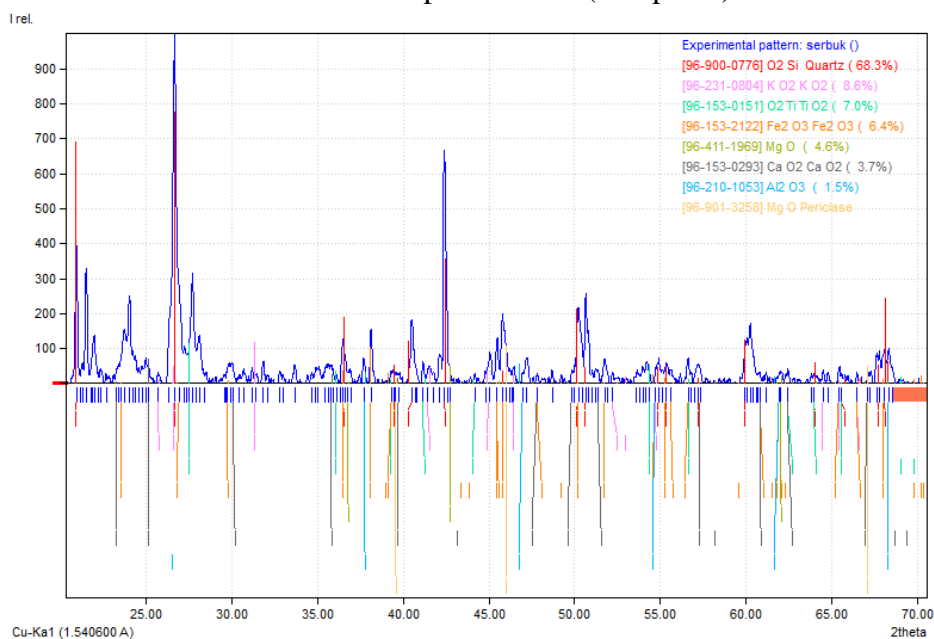
Kalsium oksida (CaO) sebanyak 9,80% memiliki stuktur kristal *tetragonal* dengan rasio perbandingan sumbu $a = b \neq c$, yang sumbu a dan b sama panjang sedangkan sumbu c tidak sama panjang. Parameter kisi dari *kalsium oksida* (CaO)

dari hasil analisis diperoleh $a = 5,0100 \text{ \AA}$ $c = 5,9200 \text{ \AA}$ dengan ukuran rata-rata dari Kristal sebesar $54,139 \text{ nm}$ dan nilai densitasnya adalah $1,61 \text{ g/cm}^3$.

Titanium dioksida (TiO_2) sebanyak 2,80% memiliki stuktur kristal *tetragonal* dengan rasio perbandingan sumbu $a = b \neq c$, sehingga sumbu a dan b sama panjang, sedangkan sumbu c memiliki panjang yang berbeda. Parameter kisi *titanium dioksida* (TiO_2) dari hasil analisis yaitu $a = 3,8040 \text{ \AA}$ $c = 9,6140 \text{ \AA}$ dengan ukuran rata-rata kristal sebesar $50,89 \text{ nm}$ dan nilai densitasnya adalah $3,814 \text{ g/cm}^3$.

Magnesium oksida (MgO) sebanyak 3.80% memiliki stuktur kristal *cubic* dimana sumbu a, b dan c sama panjang dengan rasio perbandingan sumbu yaitu $a = b = c$. Parameter kisi *Magnesium Oksida* (MgO) dari hasil analisis diperoleh $a = 3,8780 \text{ \AA}$ dengan ukuran rata-rata kristal sebesar $51,407 \text{ nm}$ dan nilai densitasnya adalah $4,589 \text{ g/cm}^3$.

4.1.3 Hasil karakteristik material pasir kuarsa (Sampel C)



Gambar 4.4: Grafik Pola Difraksi Sampel C

Dari grafik difraktogram 4.4, diperoleh adanya kandungan *silicon oksida* (SiO_2) dengan komposisi kimia lainnya yaitu *magnesium oksida* (MgO), *aluminium oksida* (Al_2O_3), *titanium oksida* (TiO_2), *potassium oksida* (K_2O), *ferioksida* (Fe_2O_3) dan *kalsium oksida* (CaO).

Grafik 4.4 menunjukkan senyawa paling tinggi yaitu *silicon dioksida* (SiO_2) yakni sebanyak 68.30% memiliki stuktur kristal *hexagonal* dengan sumbu a dan b sama panjang sedangkan sumbu c berbeda dengan rasio perbandingan sumbu $a = b \neq c$. Parameter kisi *silicon dioksida* (SiO_2) dari hasil analisis diperoleh $a = 4,1960 \text{ \AA}$ $c = 5,4054 \text{ \AA}$ dengan ukuran rata-rata kristal sebesar 34,034 nm dan nilai densitasnya adalah $3,645 \text{ g/cm}^3$.

Potassium oksida (K_2O) sebanyak 8.60% memiliki stuktur kristal *tetragonal* dengan rasio perbandingan sumbu $a = b \neq c$, dengan sumbu a dan b sama panjang sedangkan sumbu c tidak sama panjang. Parameter kisi *potassium oksida* (K_2O) dari hasil analisis diperoleh $a = 5,7040 \text{ \AA}$ $c = 6,6990 \text{ \AA}$ dengan ukuran rata-rata kristal sebesar 33,969 nm dan nilai dentitasnya yaitu $2,165 \text{ g/cm}^3$.

Aluminium oksida (Al_2O_3) sebanyak 1.50% yang memiliki stuktur kristal *rhombohedral* dengan rasio perbandingan sumbu yaitu $a = b = c$. Parameter kisi *aluminium oksida* (Al_2O_3) dari hasil analisis yaitu $a = 4,7540 \text{ \AA}$ dengan ukuran kristal sebesar 34,095 nm dan nilai densitasnya sebesar $3,995 \text{ gr/cm}^3$.

Ferioksida (Fe_2O_3) sebanyak 6.40% memiliki stuktur kristal *orthorhombic* dengan rasio perbandingan sumbu $a \neq b \neq c$, sumbu a, b dan c tidak sama panjang. Parameter kisi *ferioksida* (Fe_2O_3) dari hasil analisis diperoleh $a = 6,6428 \text{ \AA}$ $b =$

4,6003 Å c = 4,9263 Å dengan ukuran rata-rata kristal sebesar 34,052 nm dan nilai densitasnya sebesar 7,044 g/cm³.

Kalsium oksida (CaO) sebanyak 3.70% memiliki stuktur kristal *tetragonal* dengan rasio perbandingan sumbu a = b ≠ c, yang sumbu a dan b sama panjang sedangkan sumbu c tidak sama panjang. Parameter kisi dari *kalsium oksida* (CaO) dari hasil analisis diperoleh a = 5,0100 Å c = 5,9200 Å dengan ukuran rata-rata dari kristalsebesar 35,561 nm dan nilai densitasnya adalah 1,61 g/cm³.

Titanium dioksida (TiO₂) sebanyak 7.00% memiliki stuktur kristal *tetragonal* dengan rasio perbandingan sumbu a = b ≠ c, sehingga sumbu a dan b sama panjang, sedangkan sumbu c memiliki panjang yang berbeda. Parameter kisi *titanium dioksida* (TiO₂) dari hasil analisis yaitu a = 4,5900 Å c = 2,9600 Å dengan ukuran rata-rata kristal sebesar 33,931 nm dan nilai densitasnya adalah 4,254 g/cm³.

Magnesium oksida (MgO) sebanyak 4.60% memiliki stuktur kristal *cubic* dimana sumbu a, b dan c sama panjang dengan rasio perbandingan sumbu yaitu a = b = c. Parameter kisi *magnesium oksida* (MgO) dari hasil analisis diperoleh a = 4,22700 Å dengan ukuran rata-rata kristal sebesar 34,994 nm dan nilai densitasnya adalah 3,544 g/cm³.

Berdasarkan pembahasan diatas, kandungan *silica* terbesar terletak pada sampel B yaitu pada titik 50 cm dri permukaan. Hal ini dikarenakan pelapukan dari batuan sedimen terbawa oleh air laut. Densitas atau massa jenis adalah pengukuran massa setiap satuan volume benda, untuk massa jenis yang terdapat pada setiap mineral berbeda-beda dimana semakin tinggi massa jenis suatu benda

atau mineral maka semakin besar pula massa pada setiap volumenya. Ukuran kristal yang diperoleh dari persamaan *scherrer* menyatakan bahwa nilai ukuran kristal yang diperoleh berbanding terbalik dengan nilai *FWHM* (*Full Width at Half Maximum*) yang dipengaruhi intensitas dari masing-masing bidang kristal, yakni semakin tinggi intensitas maka nilai *FWHM* akan semakin kecil. Lebar penuh pada setengah maksimum atau *Full Width at Half Maximum* (*FWHM*) adalah ekspresi dari tingkat fungsi yang diberikan oleh perbedaan antara dua nilai ekstrim dari variabel independen di mana variabel dependen sama dengan setengah dari nilai maksimumnya. *FWHM* sampel adalah lebar puncak difraksi puncak pada setengah maksimum dari sampel benda uji dan *FWHM* standar adalah lebar puncak difraksi material standard yang sangat besar puncaknya berada di sekitar lokasi puncak sampel yang akan kita hitung

Parameter kisi yaitu spasi antar sel unit disegala arah yang menunjukkan bahwa semakin besar nilai parameter kisi maka semakin besar nilai spasi antar sel unit.

Hasil penelitian ini didukung oleh penelitian yang telah dilakukan oleh Mirnawati (2019) bahwa Pada lapisan pertama diduga mengandung pasir sisipan kuarsa dikarenakan pada keadaan geologi di tempat itu ditemukan batu pasir yang tersusun oleh mineral andesit, dimana mineral ini merupakan pelapukan dari batuan beku yang mengandung mineral kuarsa dan pasir merupakan pelapukan dari batu pasir menjadi butiran- butiran kecil yang tersusun dari beberapa material selain kuarsa. Lapisan kedua dan ketiga diduga lanau, pasir yang berubah menjadi butiran yang lebih halus dari sebelumnya disebut lanau.

BAB V

PENUTUP

5.1 Kesimpulan

Berdasarkan hasil penelitian yang telah dilakukan di Sungai Saddang Desa Pincara Kec.Patampanua Kab. Pinrang maka dapat ditarik kesimpulan bahwa kandungan mineral kuarsa atau *Silicon Oksida* (SiO_2) yang tertinggi terdapat pada sampel B yang terletak pada kedalaman 50 cm dari permukaan yakni sebanyak 72.60% yang memiliki stuktur kristal *hexagonal* sumbu $a = b \neq c$. Parameter kisi *silicon dioksida* (SiO_2) dari hasil analisis diperoleh $a = 4,7050 \text{ \AA}$ $c = 5,2500 \text{ \AA}$ dengan ukuran rata-rata kristal sebesar 51,174 nm dan nilai densitasnya adalah $2,974 \text{ g/cm}^3$. Sedangkan kandungan mineral kuarsa terendah terdapat pada sampel A yang terletak pada permukaan yakni 50.10% yang memiliki stuktur kristal *hexagonal*. Sistem *hexagonal* memiliki rasio perbandingan sumbu yaitu $a = b \neq c$. Parameter kisi pada *silicon oksida* (SiO_2) dari analisis diperoleh yaitu $a = 4,9115 \text{ \AA}$ $c = 5.4038 \text{ \AA}$ dengan ukuran kristal sebesar 34,034 nm dan nilai densitasnya sebesar $2,651 \text{ gr/cm}^3$.

5.2 Saran

Setelah melakukan penelitian ini maka untuk penelitian selanjutnya penulis menyarankan agar menggunakan alat yang lebih modern agar pengambilan sampel lebih efektif dan melakukan pengujian dengan metode SEM (*Scanning Electron Microscopy*) agar nano partikel yang dihasilkan dapat terlihat dengan jelas.

DAFTAR PUSTAKA

- Abdullah. 2013. *Ekstraksi Pasir Besi*. <http://digilib.unila.ac.id/> (diakses 7 Januari 2019).
- Beiser, Arthur. 1992. *Modernt Technical Physics*. Malang: UB Press.
- Depertemen Agama R.I. 2013. *Al-Qur'an Al- Karim dan Terjemahnya*. Surabaya: Halim.
- Fery M. 2012. *Lambung Pustaka UNY*. <http://eprints.uny.ac.id/>(diakses 7 Januari 2019).
- Hadi, Arif Ismul, dkk.2011. *Penentuan Struktur Kristal AlMg₂ Alloy dengan Difraksi Neutron*.*Berkala fisika 14*
- Hynes, Margaret. 2006. *Seri Pengetahuan Batuan dan Fosil*. Jakarta: Erlangga.
- Mirawati. 2019. *Identifikasi pasir kuarsa dengan metode Geolistrik Konfigurasi Wenner dan Schlumberger di Aliran Sungai Saddang Kabupaten Pinrang*.Fisika.Fakultas Sains dan Teknologi.UIN Alauddin Makassar
- Nurhidayah, Rahmaniah. 2016. *Karakteristik Material Pasir Besi Dengan Menggunakan X-Ray Diffraction (XRD) Di Pantai Marina Kabupaten Bantaeng*.Fisika.Fakultas Sains dan Teknologi.UIN Alauddin Makassar.
- Nurmawati, Melly. 2007. “*Analisis Derajat Kristalinitas, Ukuran Kristal dan Bentuk Partikel Mineral Tulang Manusia Berdasarkan Variasi Umur dan Jenis Tulang*”. Skripsi.Institut Pertanian Bogor.
- Rahman, Syaiful, Moh. Toifur.2014. *Rancangan Eksperimen Analisis Struktur Mikro Sampel dengan Prinsip XRD Menggunakan Metode Kristal Berputar*.JRKPF UAD Vol.3 No.1
- Ratnasari, Dina., dkk. 2009. *X-Ray Diffraction (XRD)*.*Tugas Kimia Fisika*
<http://kimia.ft.uns.ac.id/> (diakses 8 Januari 2019).
- Setianingsih, Tutik, dkk. 2018. *Prinsip Dasar dan Aplikasi Metode Difraksi Sinar-X Untuk Karakterisasi Material*. Malang: UB Press.
- Shihab, M. Quraish. 2002. *Tafsir Al Misbah : pesan, kesan, dan keserasian Al-Qur'an* / M. Quraish Shihab. Jakarta : Lentera hati.

Suharyana. 2012. *Dasar-Dasar Dan Pemanfaatan Metode Difraksi Sinar-X*. Surakarta: Universitas Sebelas Maret.

Sukandarrumidi.2018. *Bahan Galian Industri*. Yogyakarta: Gajah Mada University Press.

Wisatakita. 2011. *Wisata Sungai Saddang*.<https://www.wisatakita.com/wisata/Sulawesi.Selatan/Tana.Toraja/Sungai.Saddang>(diakses pada tanggal 10 Februari 2019)

LAMPIRAN

LAMPIRAN 1
ALAT DAN BAHAN



GPS



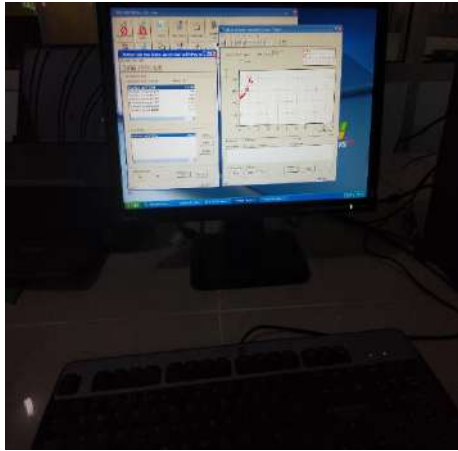
Roll Meter



Kantong Sampel



Cangkul



Komputer



XRD



Sampe Holder



Spatula

LAMPIRAN 2
PENGAMBILAN SAMPEL



Penentuan titik koordinat pengambilan sampel



Pengambilan sampel pada bagian permukaan



Penggalian untuk pengambilan sampel pada kedalaman 50 cm dan 100 cm



Pengambilan sampel pada kedalaman 50 cm



Pengambilan sampel pada kedalaman 100, pada kedalaman 100 cm telah didapatkan tanah



Sampel

LAMPIRAN 3
PREPARASI SAMPEL

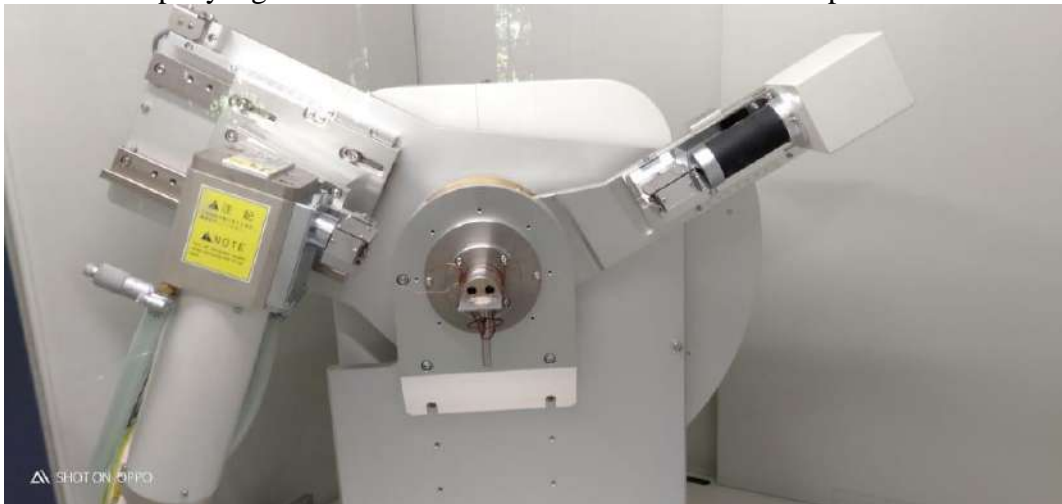


Sampel dibersihkan dari kotoran kemudian di jemur dibawah sinar matahari

LAMPIRAN 4
PENGUJIAN SAMPEL



Sampel yang sudah halus kemudian di masukkan ke sampel holder



Sampel di letakkan di pemegang sampel yang ada pada alat XRD

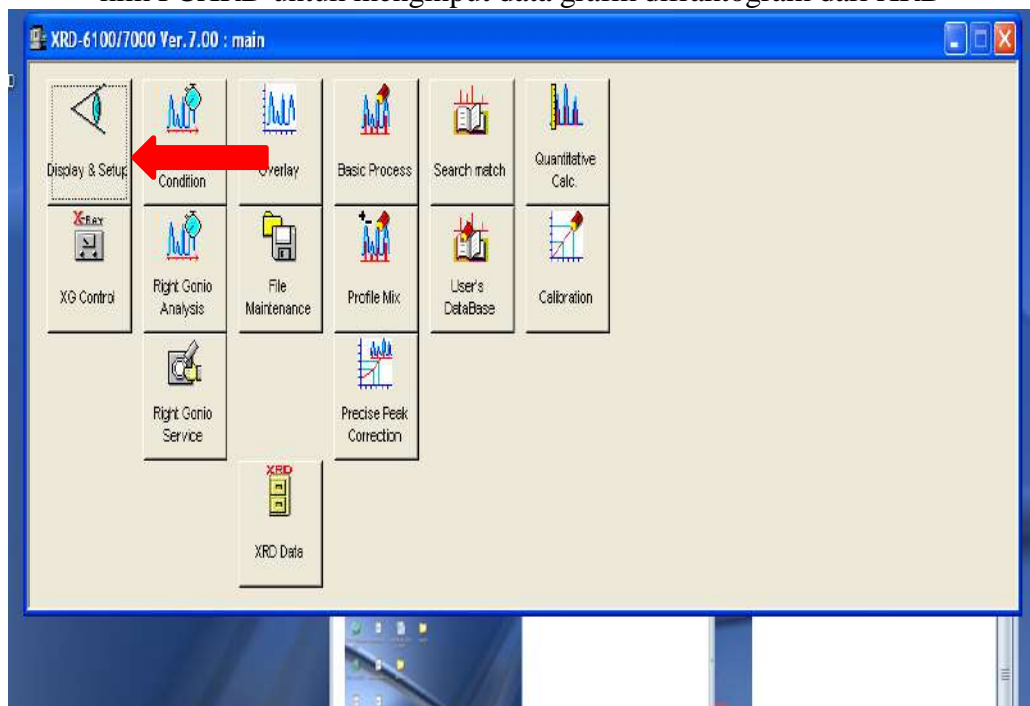




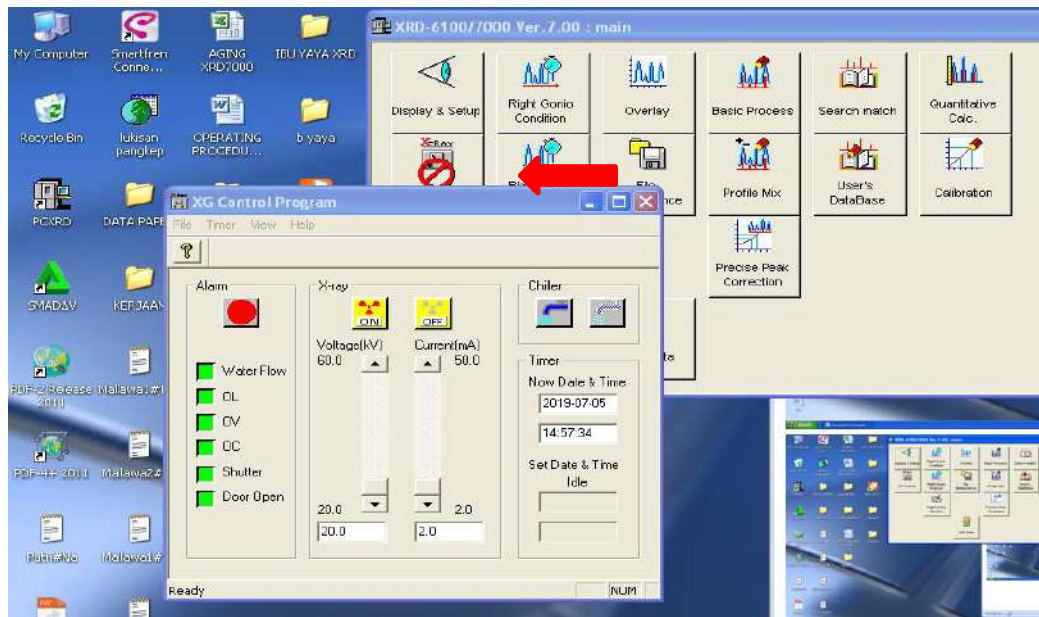
Penginputan data



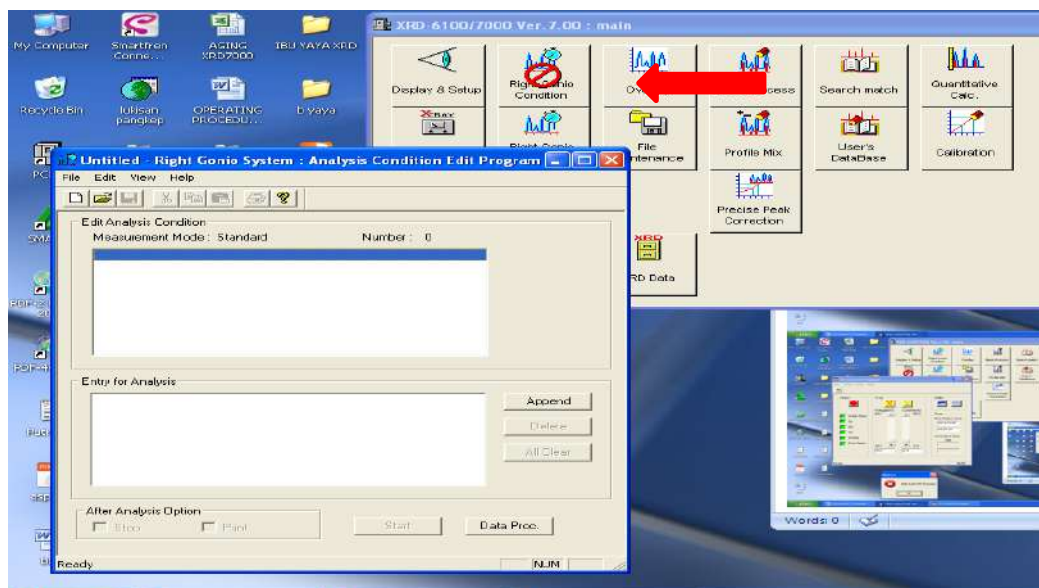
klik PCXRD untuk menginput data grafik difraktogram dari XRD



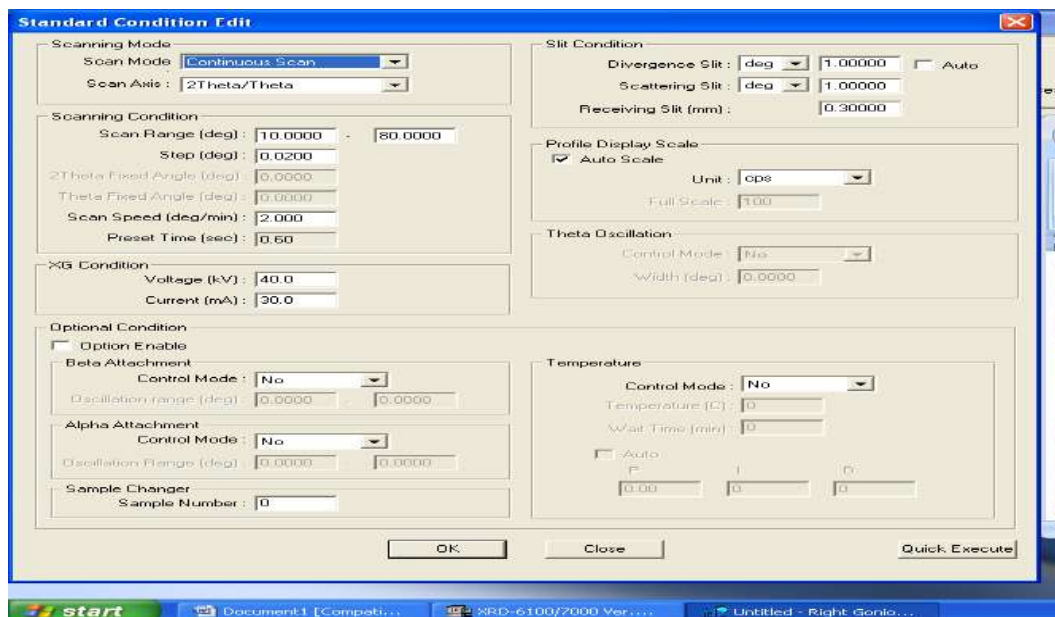
Klik Display & setup untuk mengecek XRD sudah terhubung dengan komputer.



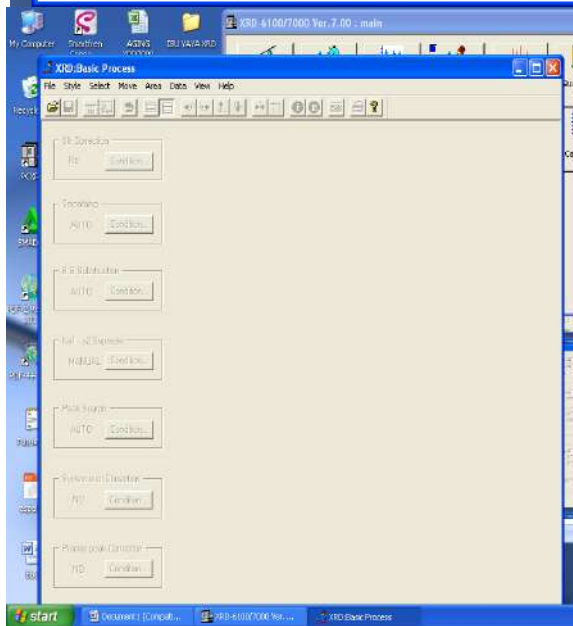
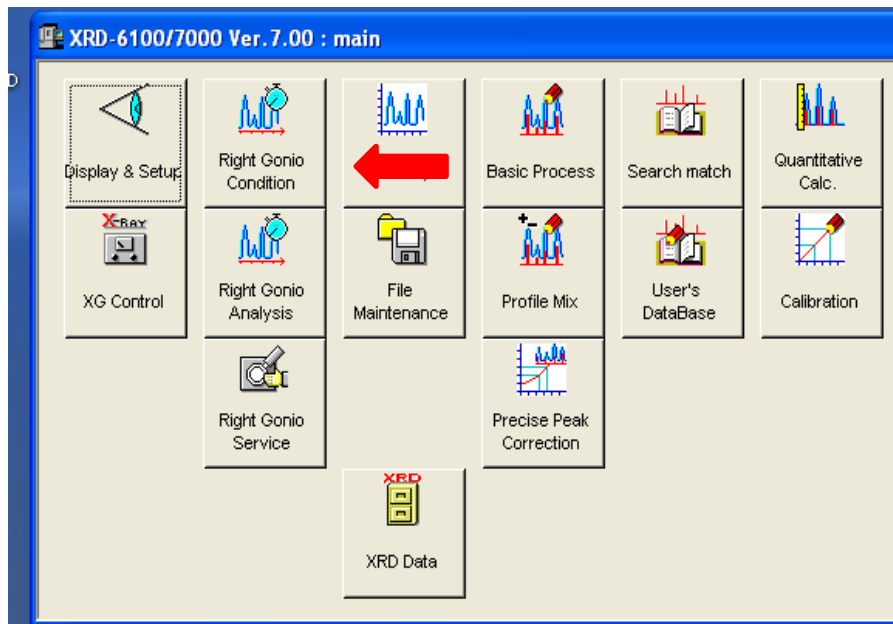
Pilih XG Control Program untuk pengecekan kondisi alat dalam keadaan baik.



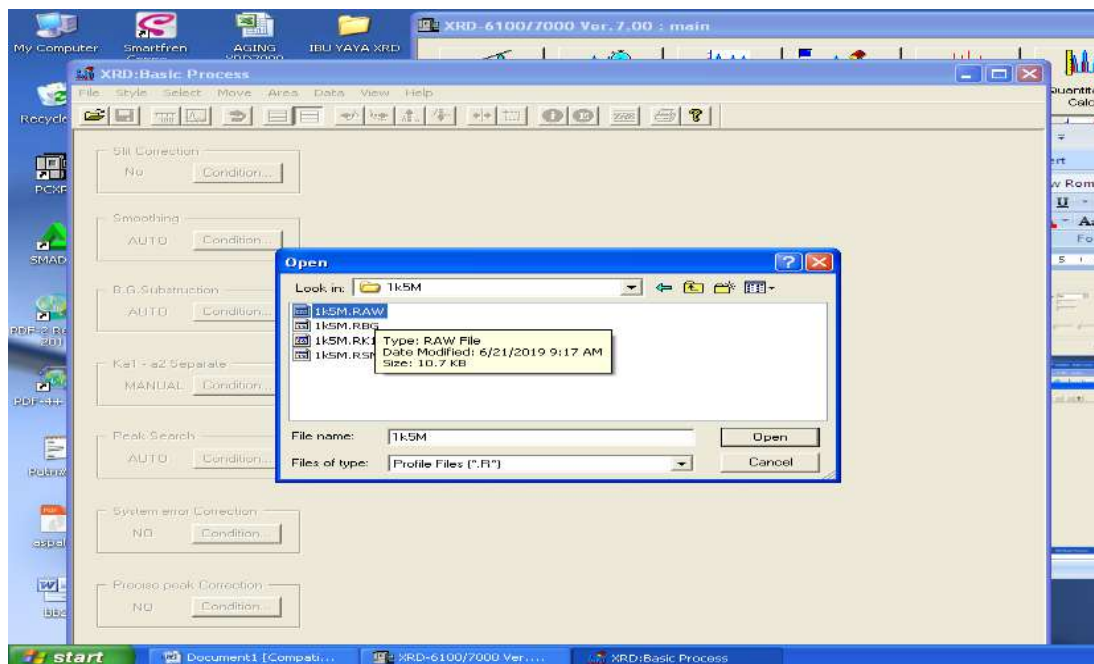
Pilih Right Gonts System, untuk mengetahui kondisi sampel yang diinginkan(scan 2θ), kemudian akan muncul tampilan seperti gambar diatas.



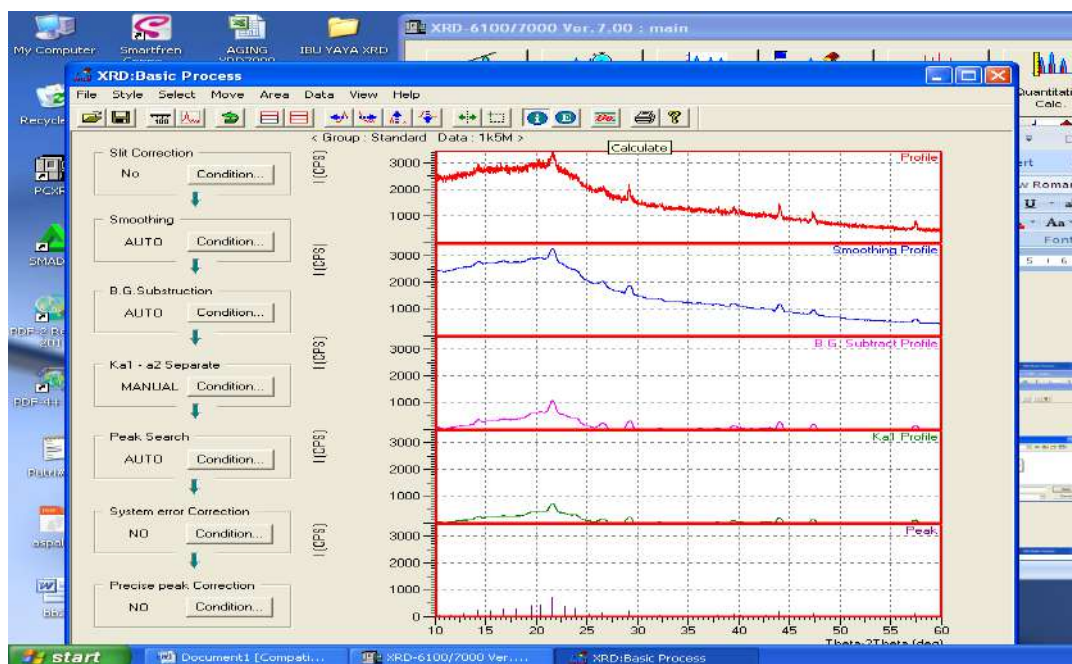
Kemudian akan tampil standard condition edit, untuk mengatur besar sudut 2θ yang akan digunakan.



Klik Basic Proses untuk menampilkan grafik difraktogram saat run XRD sedang berlangsung setelah selesai simpan file.

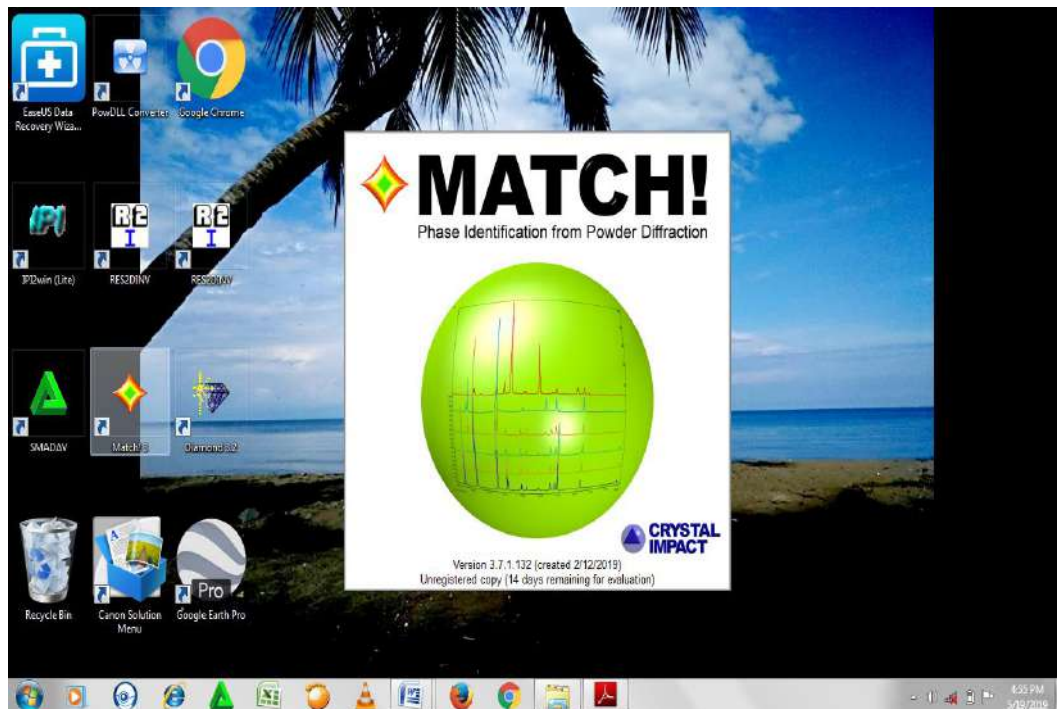


Setelah run selesai, klik Basic Proses kembali lalu buka file “RAW” lalu open

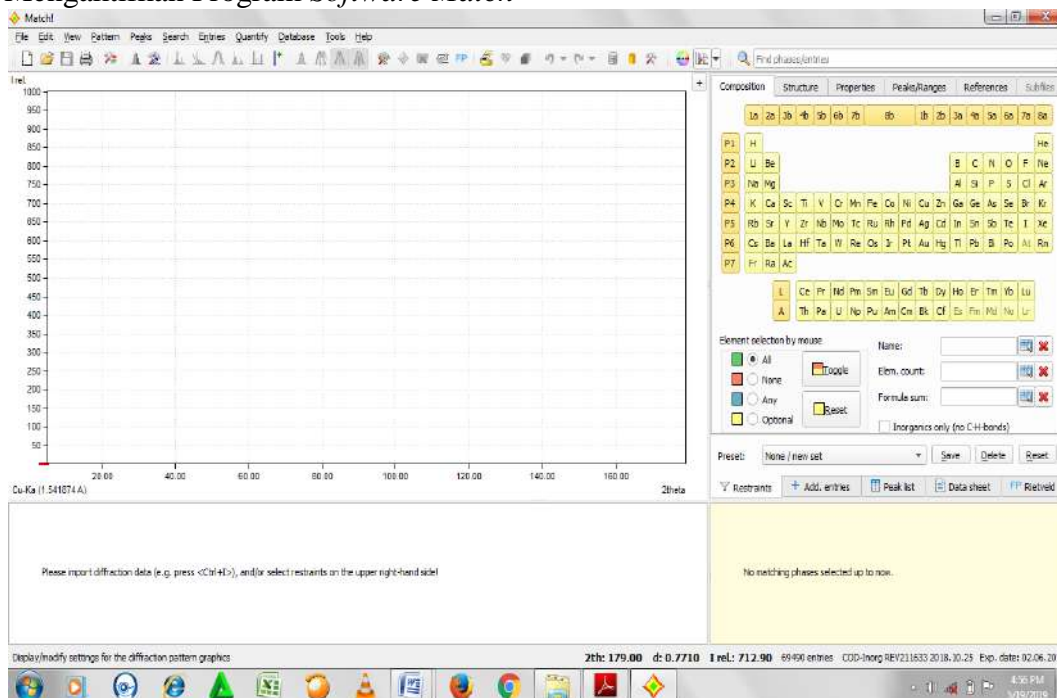


maka akan muncul grafik difraktogram seperti gambar diatas. Grafik tersebut yang akan diolah pada *software search and match*.

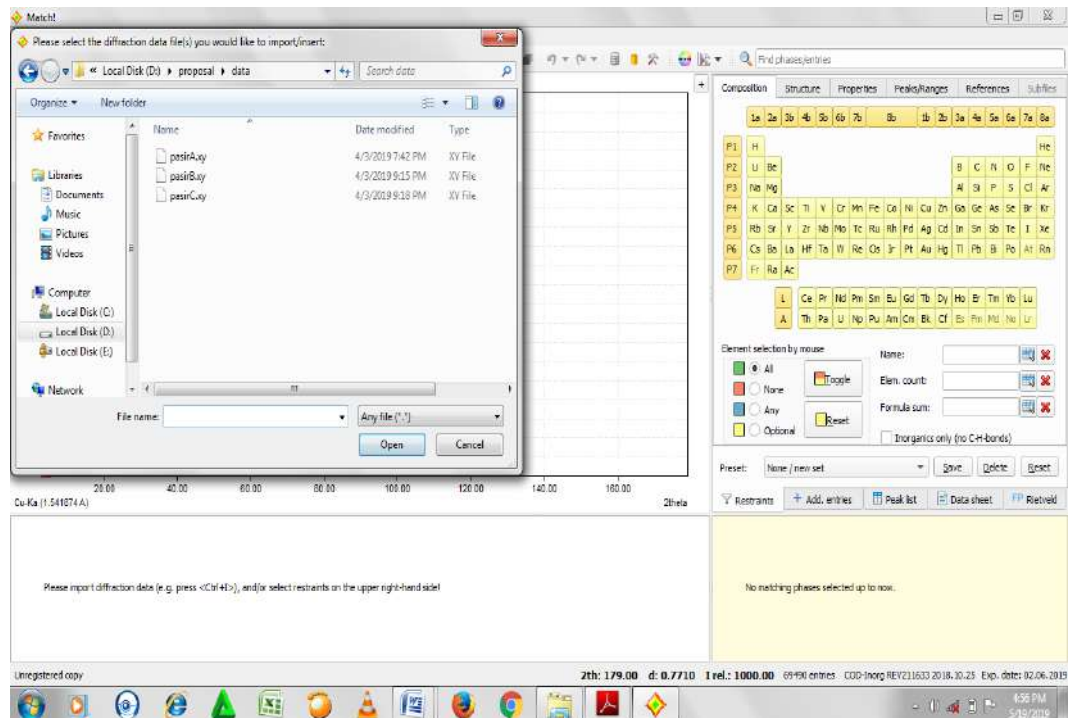
LAMPIRAN 5
ANALISIS DENGAN
SOFTWARE MATCH



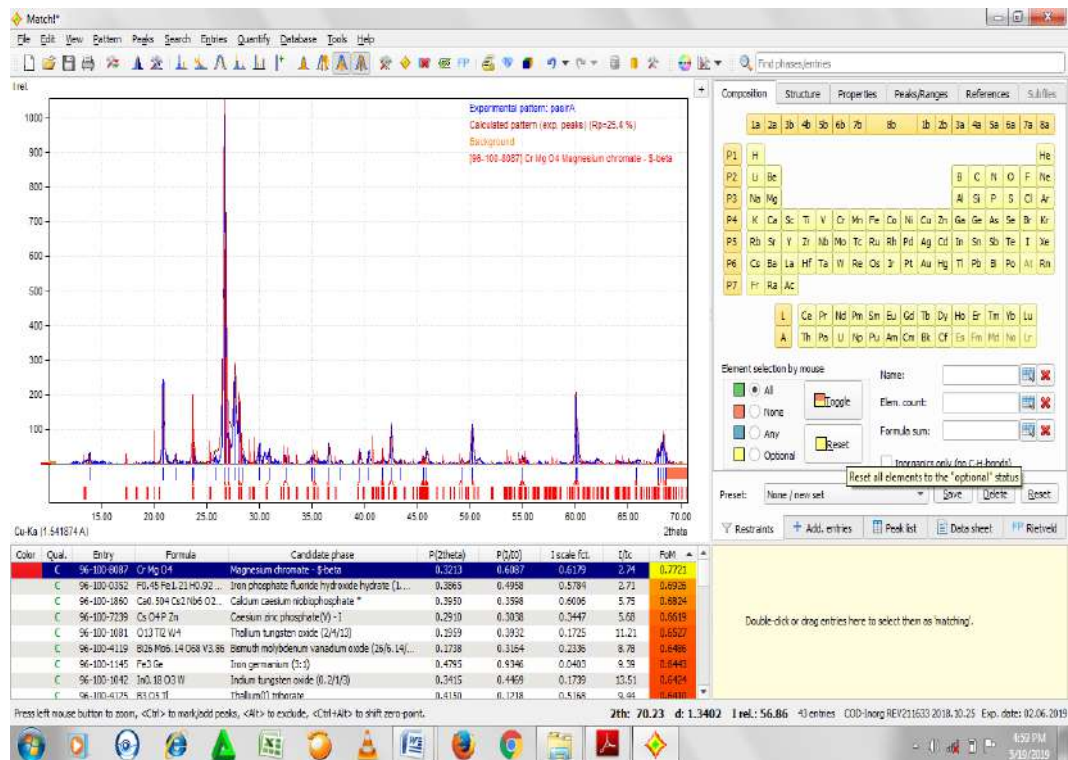
Mengaktifkan Program *Software Match*



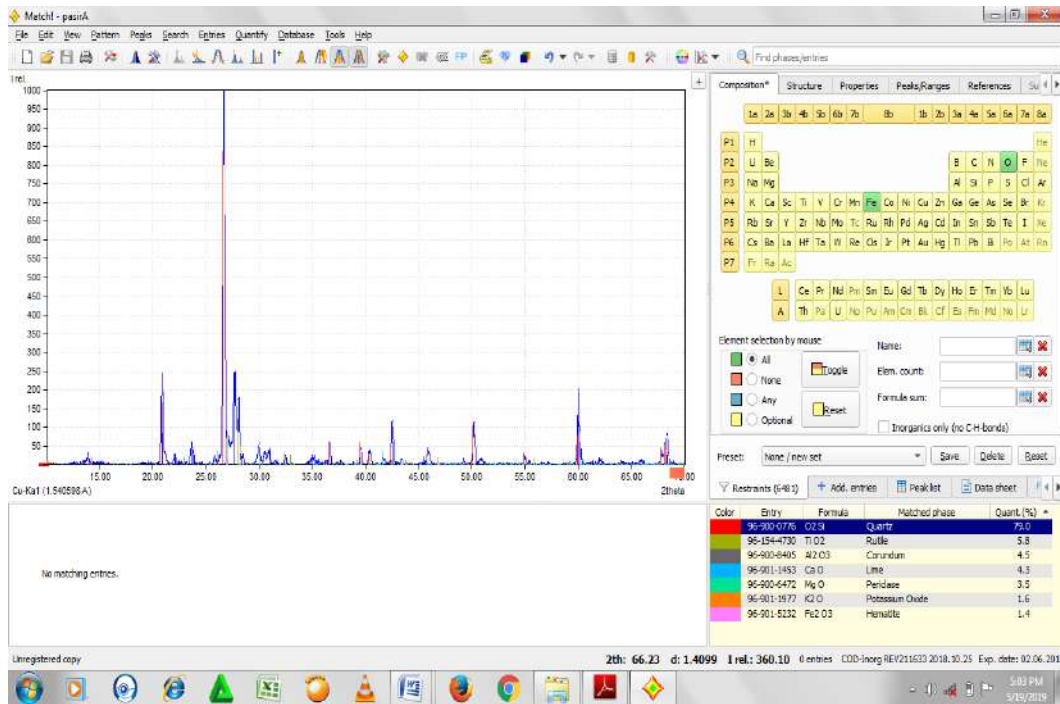
Mengimpor file dokumen atau data hasil difraksi sinar-X yang telah tersimpan dalam komputer dengan cara mengklik ikon (+) pada tampilan utama *software Search-Match*.



Selanjutnya membuka data file yang berformat “raw” dengan cara mengklik dua kali atau memilih file yang berformat “raw” tersebut kemudian klik “OPEN”.



Mengatur tampilan grafik pada *software Search-Match*. dan Memilih mineral-mineral yang sesuai dengan cara mencocokkan garis tegak lurus dengan puncak grafik sebagai nilai puncak pada grafik hasil difraksi sinar-X pada *software Search-Match*.



Kemudian *Software Match* ini juga akan memberikan informasi mengenai struktur kristal, sel parameter, densitas dan nilai hkl (indeks bidang) yang terdapat pada sampel.

LAMPIRAN 6
HASIL ANALISIS
SOFTWARE MICROSOFT EXCEL

HASIL ANALISIS SOFTWARE MICROSOFT EXCEL

TITIK A

Karakteristik Material Pasir Kuarsa (Sampel A)					
Kandungan mineral	Struktur Kristal	Persentase Kandungan	Density (gr/cm ³)	Parameter kisi (Å)	Ukuran Kristal (nm)
Silicon dioksida (SiO ₂)	Trigonal	50.10%	2.651	a = 4.9115	34,034
				b = 4.9115	
				c = 5.4038	
Potassium Oksida (K ₂ O)	Cubic	15.30%	2.347	a = 6.4360	35,408
				b = 6.4360	
				c = 6.4360	
Aluminium Oksida (Al ₂ O ₃)	Cubic	6.10%	1.566	a = 5.6700	34,095
				b = 5.6700	
				c = 5.6700	
Ferioksida (Fe ₂ O ₃)	Rhombohedral	18.30%	5.943	a = 6.1320	34,052
				b = 6.1320	
				c = 6.1320	
Kalsium Oksida (CaO)	Tetragonal	5.20%	1.61	a = 5.0100	34,095
				b = 5.0100	
				c = 5.9200	
Titanium Dioksida (TiO ₂)	Tetragonal	4.90%	3.956	a = 3.7710	33,931
				b = 3.7710	
				c = 9.4300	

TITIK B

Karakteristik Material Pasir Kuarsa (Sampel B)					
Kandungan mineral	Struktur Kristal	Persentase Kandungan	Density (gr/cm ³)	Parameter kisi (Å)	Ukuran Kristal (nm)
Silicon dioksida (SiO ₂)	Trigonal	72.60%	2.974	a = 4.7050	51,174
				b = 4.7050	
				c = 5.2500	
Potassium Oksida	Tetragonal	5.20%	2.165	a = 5.7040	50,890
				b = 5.7040	

(K ₂ O)				c = 6.6990	
Aluminium Oksida (Al ₂ O ₃)	Triclinic	5.20%	5.044	a = 3.4009	52,319
				b = 2.7895	
				c = 7.0762	
Ferioksida (Fe ₂ O ₃)	Orthorhombic	0.60%	7.044	a = 6.6428	51,057
				b = 4.6003	
				c = 4.9263	
Kalsium Oksida (CaO)	Tetragonal	9.80%	1.61	a = 5.0100	54,139
				b = 5.0100	
				c = 5.9200	
Titanium Dioksida (TiO ₂)	Tetragonal	2.80%	3.814	a = 3.8040	50,89
				b = 3.8040	
				c = 9.6140	
Magnesium Oksida (MgO)	Cubic	3.80%	4.589	a = 3.8780	51,407
				a = 3.8780	
				a = 3.8780	

Titik C

Karakteristik Material Pasir Kuarsa (Sampel C)					
Kandungan mineral	Struktur Kristal	Persentase Kandungan	Density (gr/cm ³)	Parameter kisi (Å)	Ukuran Kristal (nm)
Silicon dioksida (SiO ₂)	Trigonal	68.30%	3.645	a = 4.1960	34,034
				b = 4.1960	
				c = 5.4054	
Potassium Oksida (K ₂ O)	Tetragonal	8.60%	2.165	a = 5.7040	33,969
				b = 5.7040	
				c = 6.6990	
Aluminium Oksida (Al ₂ O ₃)	Rhombohedral	1.50%	3.995	a = 4.7540	34,095
				b = 4.7540	
				c = 4.7540	
Ferioksida (Fe ₂ O ₃)	Orthorhombic	6.40%	7.044	a = 6.6428	34,052
				b = 4.6003	
				c = 4.9263	
Kalsium Oksida	Tetragonal	3.70%	1.61	a = 5.0100	35,561
				b = 5.0100	

(CaO)				c = 5.9200	
Titanium Dioksida (TiO ₂)	Tetragonal	7.00%	4.254	a = 4.5900	33,931
				b = 4.5900	
				c = 2.9600	
Magnesium Oksida (MgO)	Cubic	4.60%	3.544	a = 4.22700	34,994
				b = 4.22700	
				c = 4.22700	

LAMPIRAN 7
HASIL ANALISIS
DENGAN MENGGUNAKAN RUMUS
SCEHRRER

Untuk Sampel Titik A mineral *Silicon Dioksida*(SiO₂)

Diketahui:

$$k = 0,9$$

$$\lambda = 1,540600 \text{ \AA} = 0,1540600 \text{ nm}$$

$$B = 0,24^\circ$$

$$B = \frac{(0,24^\circ \times \pi)}{180} = 0,0042$$

$$2\theta = 37,82^\circ$$

$$\theta = \frac{37,82^\circ}{2}$$

$$\theta = 18,91^\circ$$

Ditanyakan: D.....?

Penyelesaian:

$$D = \frac{k\lambda}{B \cos \theta}$$

$$D = \frac{0,9 \times 0,1540600}{0,0042 \times \cos 18,91^\circ}$$

$$D = 35,007 \text{ nm}$$

Dengan menggunakan persamaan yang sama maka didapat nilai ukuran Kristal untuk mineral pada titik B dan titik C